









## DIAGNOSTIK, METHODIK, KLINIK



ERGUSSZYTOLOGIE

BAL

KRYOBIOPSIE

RUNDHERD

LIQUID BIOPSY

Radiologie

Onkologie

Pneumologen

BIOPSIE

ZYTOLOGIE

**TBNA** 

Pathologie Anaesthesie

PAP

ZELLBLOCK

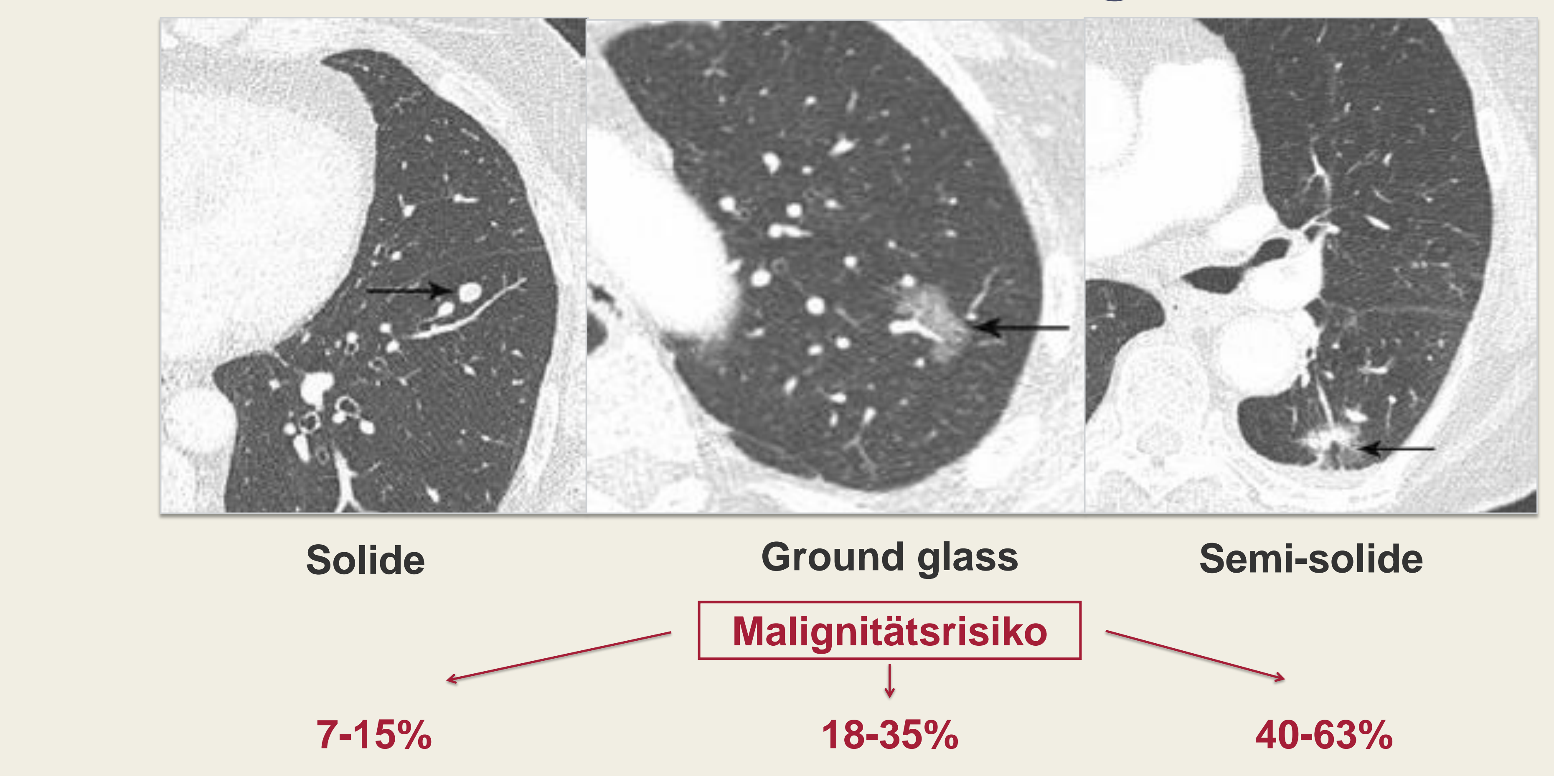
IMMUNHISTOCHEMIE

Pflege





## DER RUNDHERD RADIOLOGIE-Großgerät



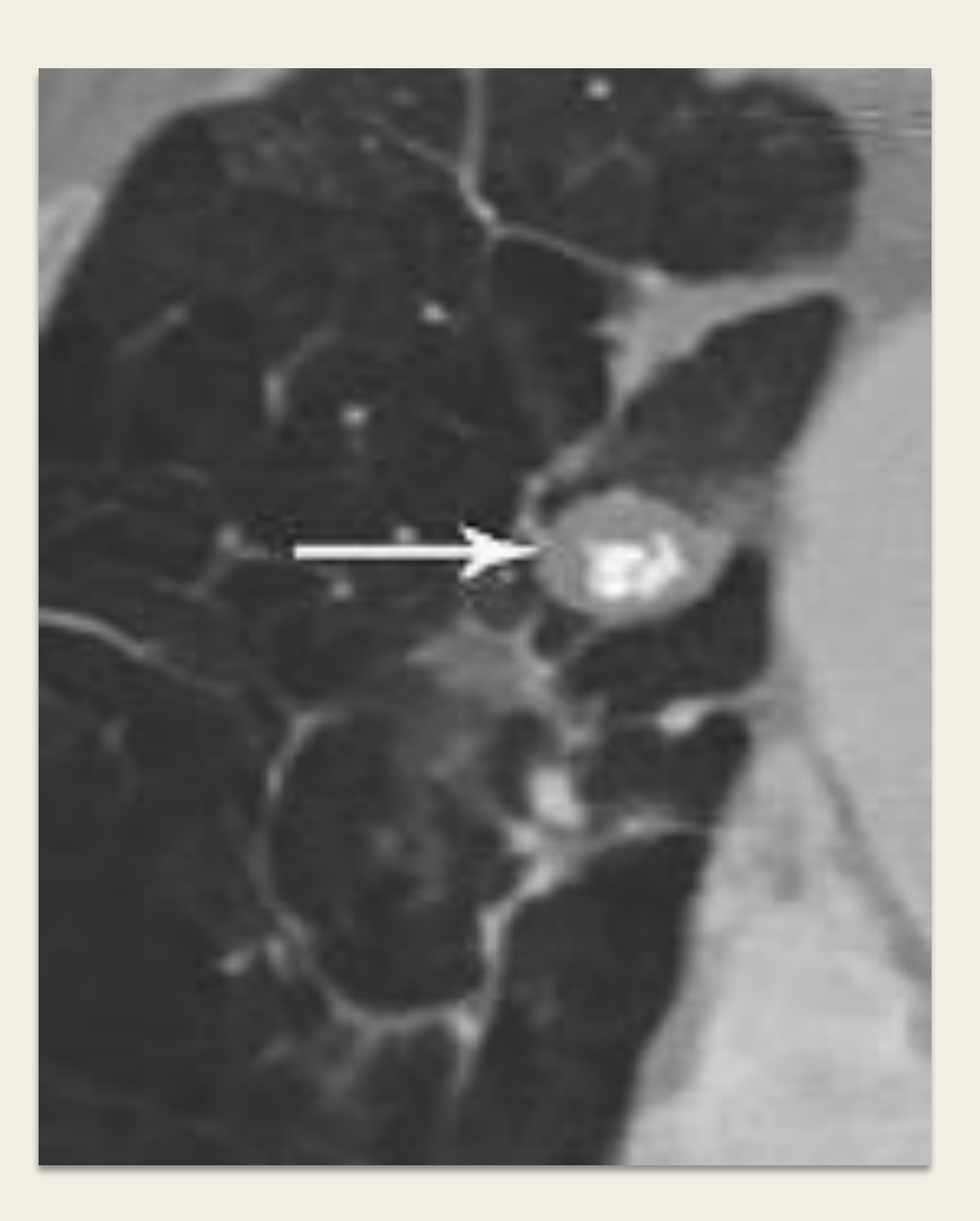




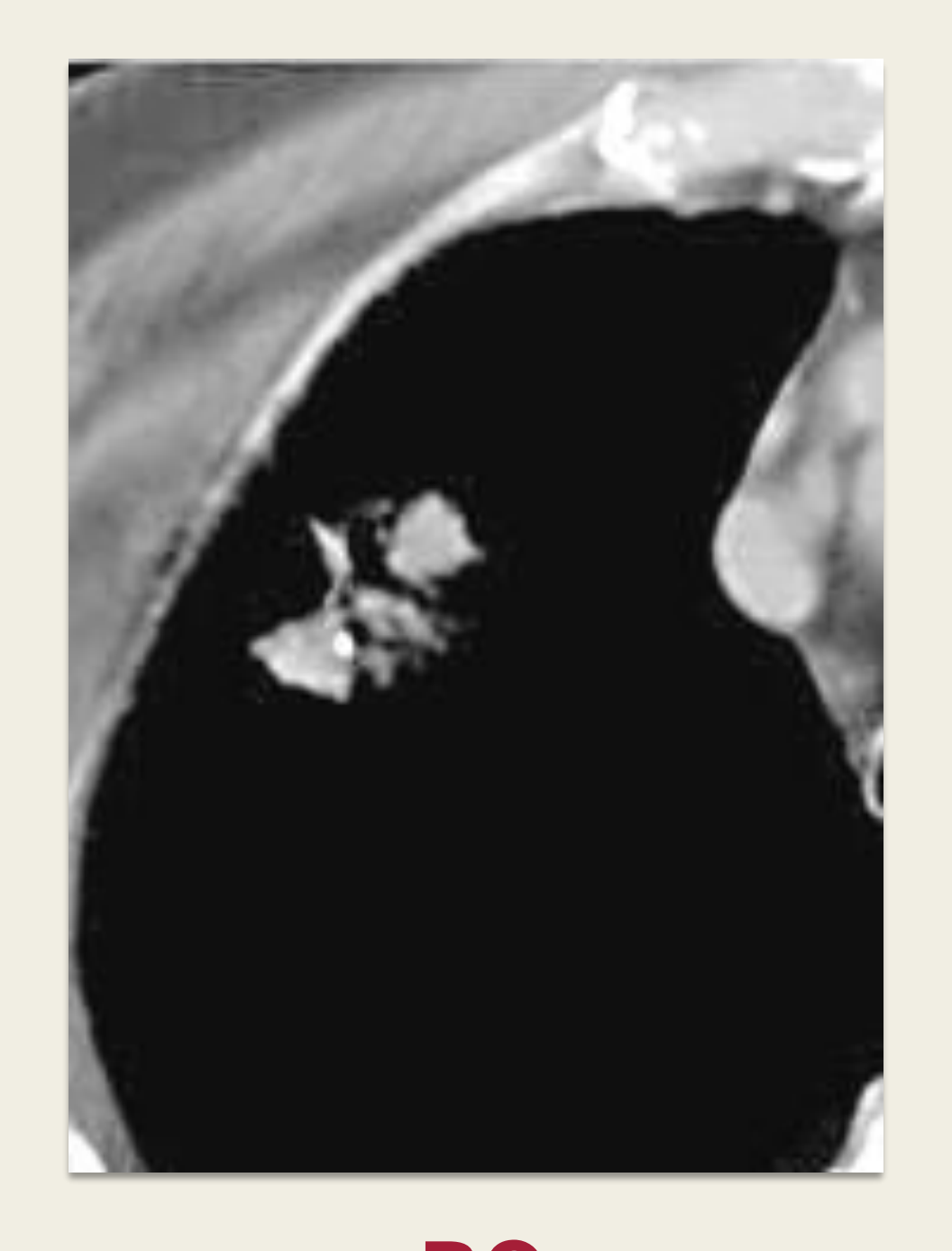
### DER RUNDHERD II



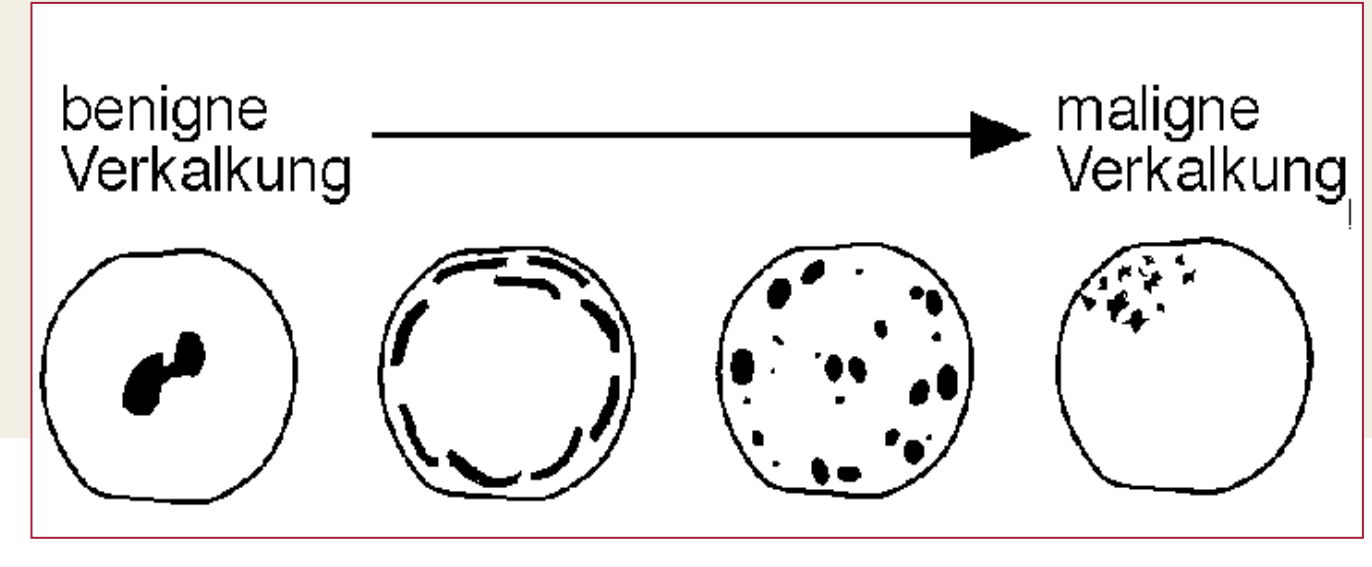
**Granulom** *total verkalkt* 



Hamartom zentral verkalkt



BC Exzentr.Kalk







## Bioptische Sicherung, aber wie? Aufwändige Feinmechanik

#### **Transbronchiale Biopsie -**

Erfolgschancen in Abhängigkeit von der Größe des Herdes

<1cm 55%

1-2cm 56%

2-3cm 64%

>3cm 77%

Pneurisiko <1%

Bessere Ergebnisse bei Kryo, erhöhtes Pneu- und Blutungsrisiko nur bei ILD. Kombination verschiedener Verfahren (Kryo/Zange, Nadel, Bürste, BAL) vorteilhaft Transthorakale Biopsie (sono- oder CT-gesteuert):

<1cm 67%

1-2cm 94%

2-3cm 94%

>3cm 98%

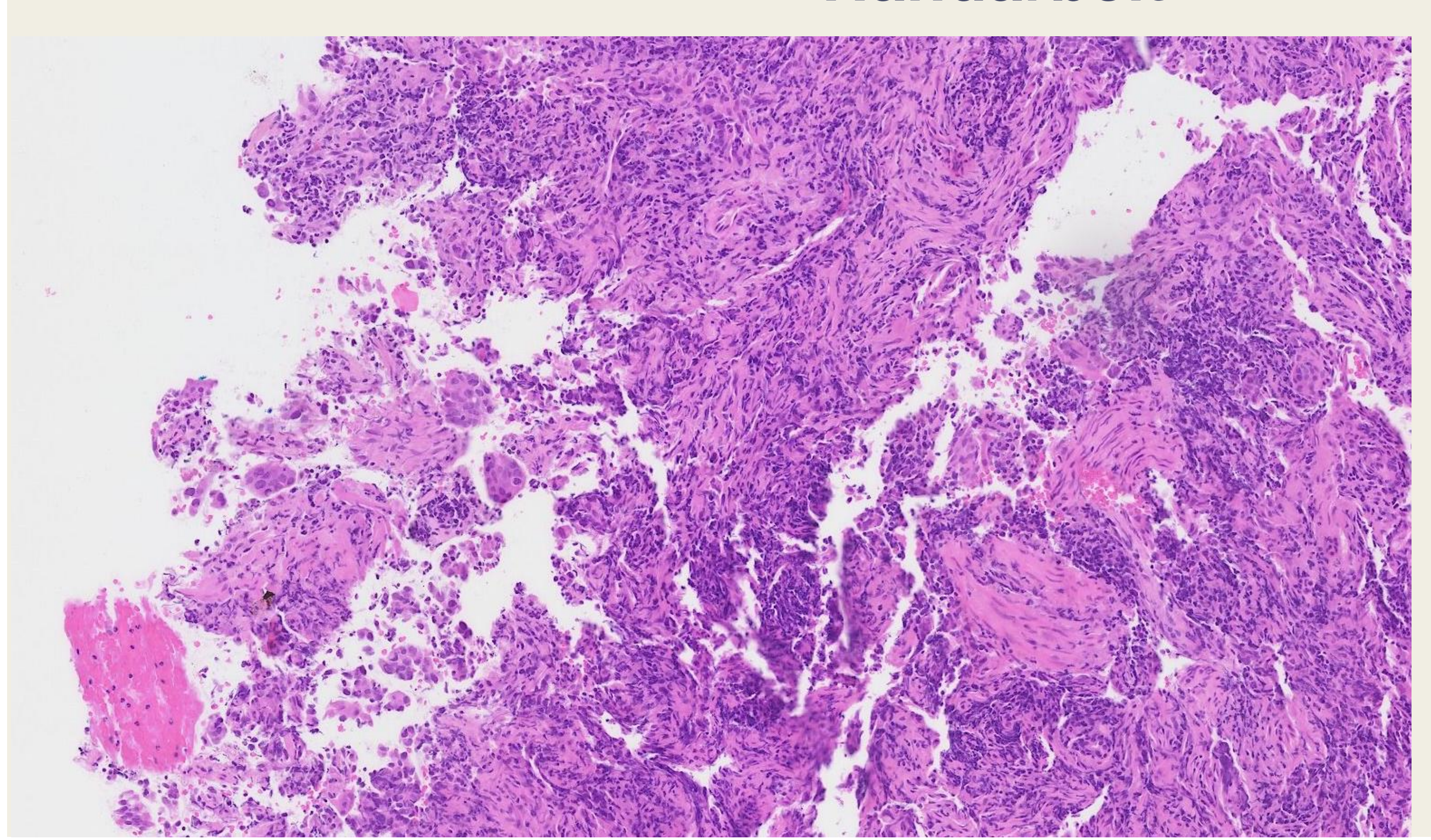
Pneurisiko ca. 15% (Drainage nicht immer erforderlich)







## Alltag Histologie-Lungenbiopsie Handarbeit



Pathologie 2-5% Klinikbudget



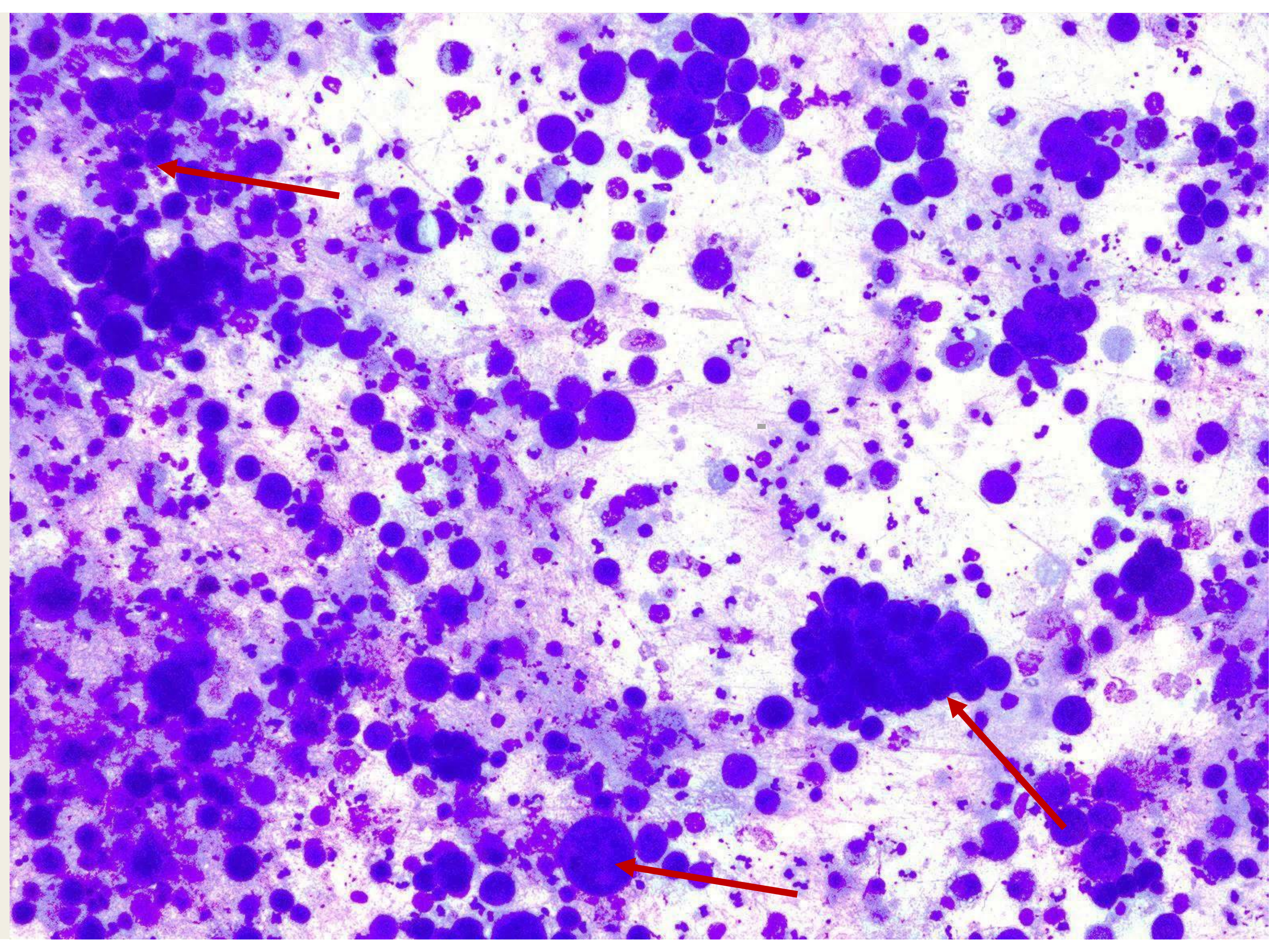
Transbronchiale Biopsie
Oberlappenostium links
24-48 Stunden





# Zytologie ... hilfreichkostengünstig?

- 1) JA, aber.....
- 2) Lymphknoten
- 3) Risiko Patient
- 4) 0,9mm Nadel
- 5) Kein PD-L1
- 6) Pleuraergüsse
- 7) 15-60 Minuten



Färbung: MGG, x200. Komplexe von Tumorzellen/Adenokarzinom.

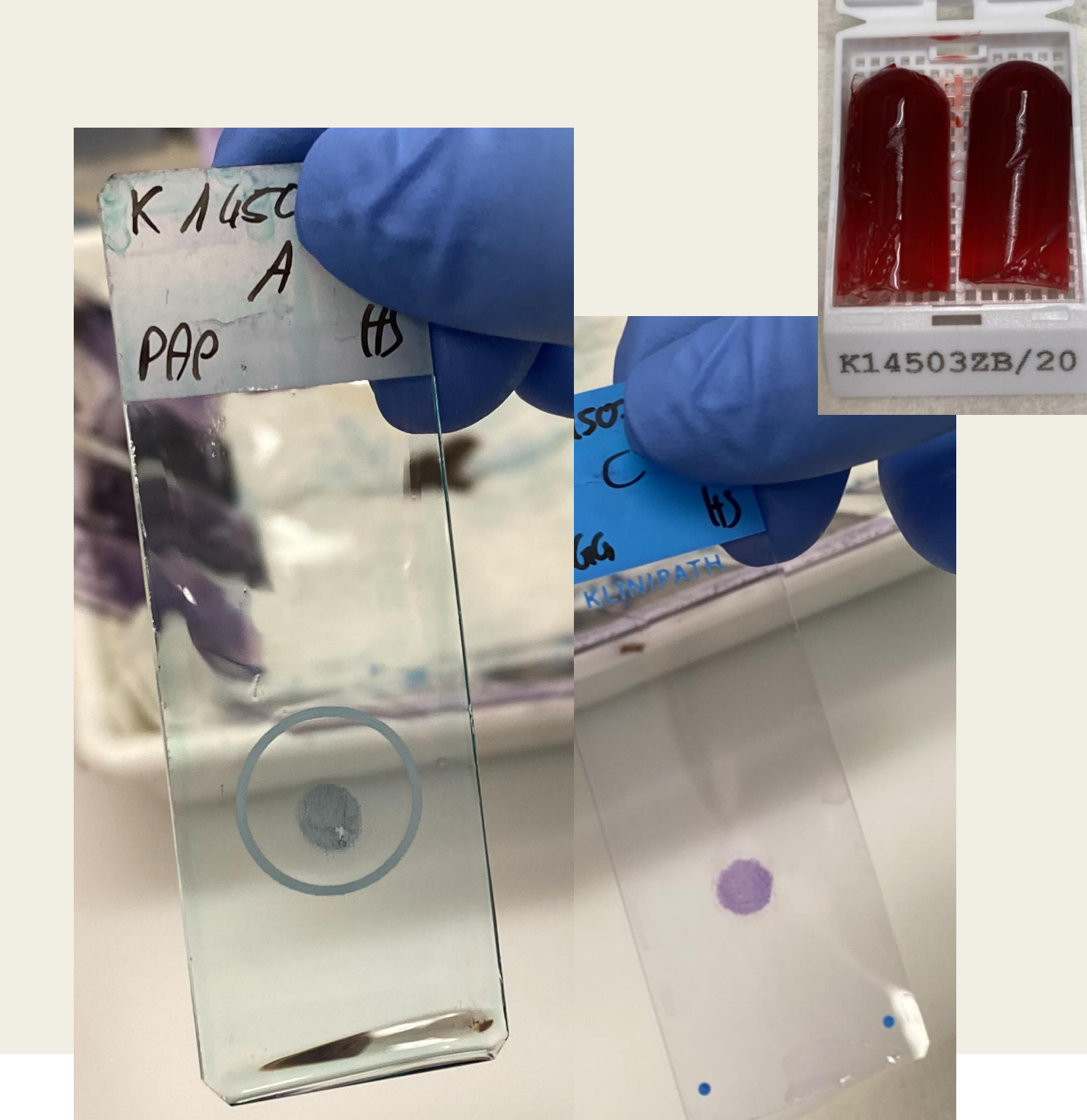
## EK IINICO

## Optimierung zytologischen Materials

- 1. Anfertigung von Ausstrichpräparate
- 2. Präparation von Ergüssen mittels Cytospin-Zentrifuge
- 3. Zellblock-Methode bei Aspiraten und Ergüssen (entspricht einer Histologie)

## Zytologische Färbungen

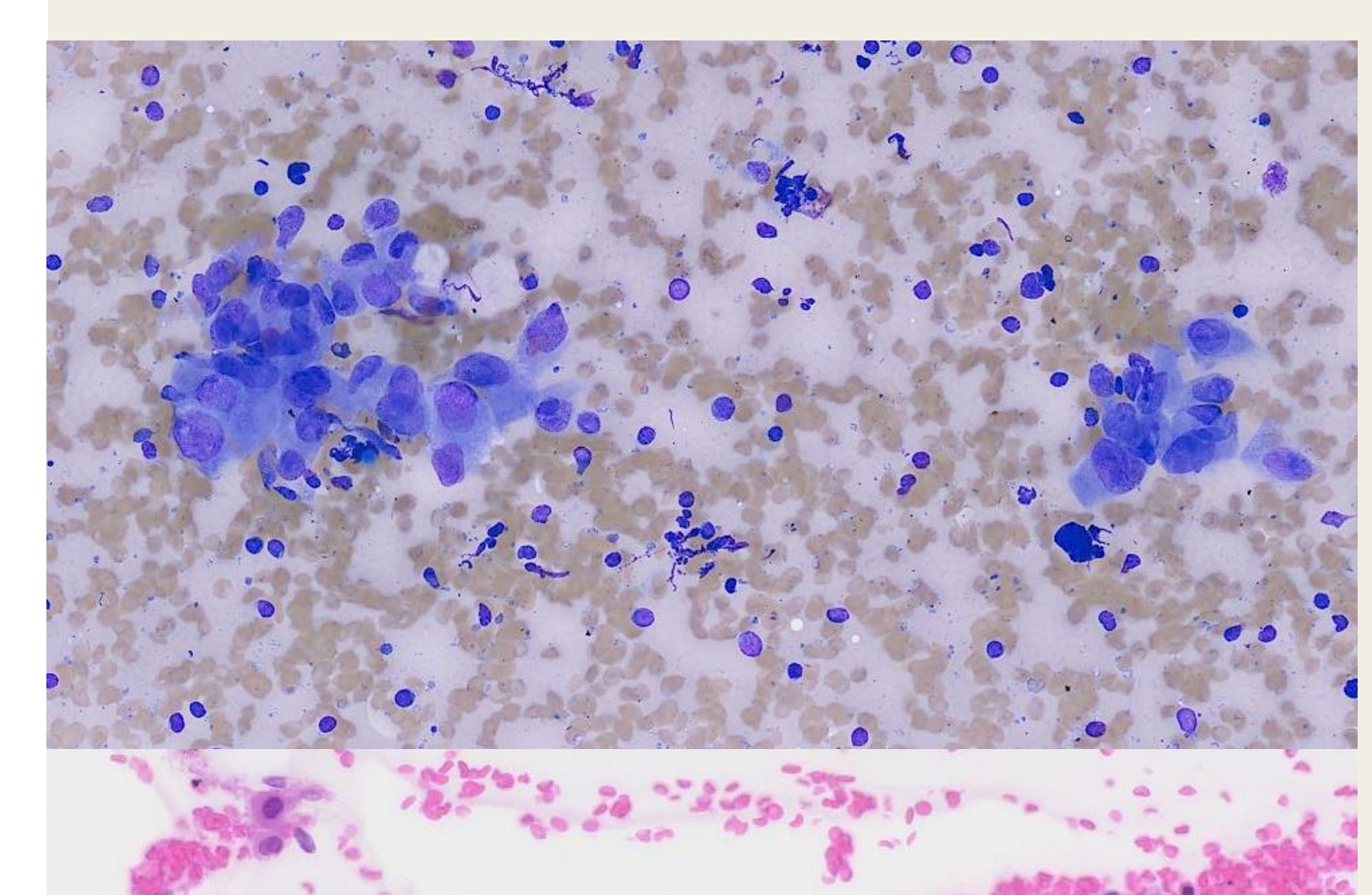
- 1. Nach Papanicolaou (PAP)
- 2. May-Grünwald-Giemsa (MGG)
- 3. Immunzytochemische Untersuchungen







## Patient, 57 Jahre Zytologie, Zytoblock, Histologie, Immunhistologie



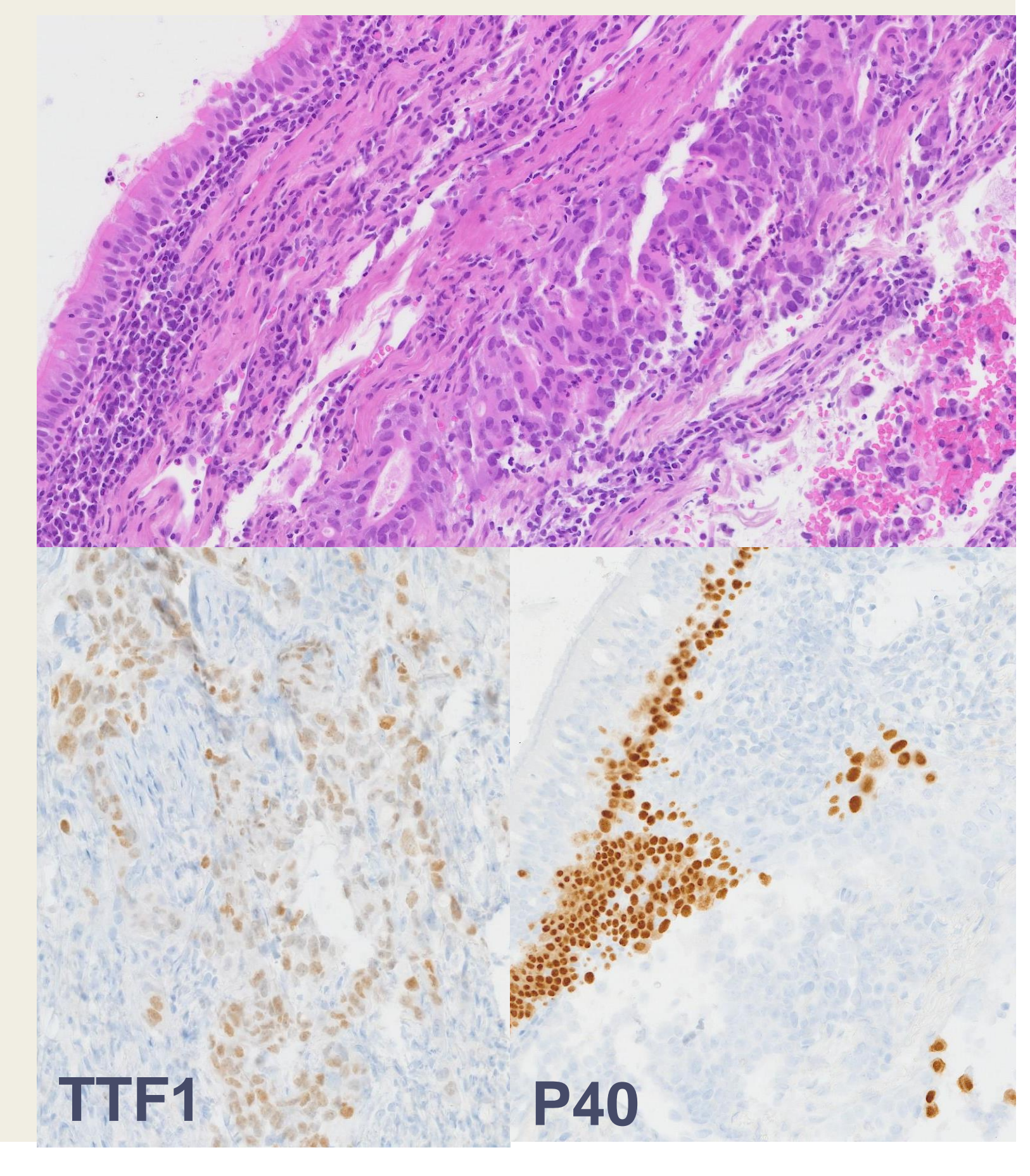
**Zytologie Ausstrich Position 11L May-Grünwald; 200x** 

Histologie HE Oberlappenkarina

300€ Sachwert gering Personalaufwand

Zytoblock Position 11L HE; 100x Immunhistochemie TTF1, P40

Diagnose:
NSCLC/Adenokarzinom G2, TTF1 positiv
Lymphknotenmetastasen







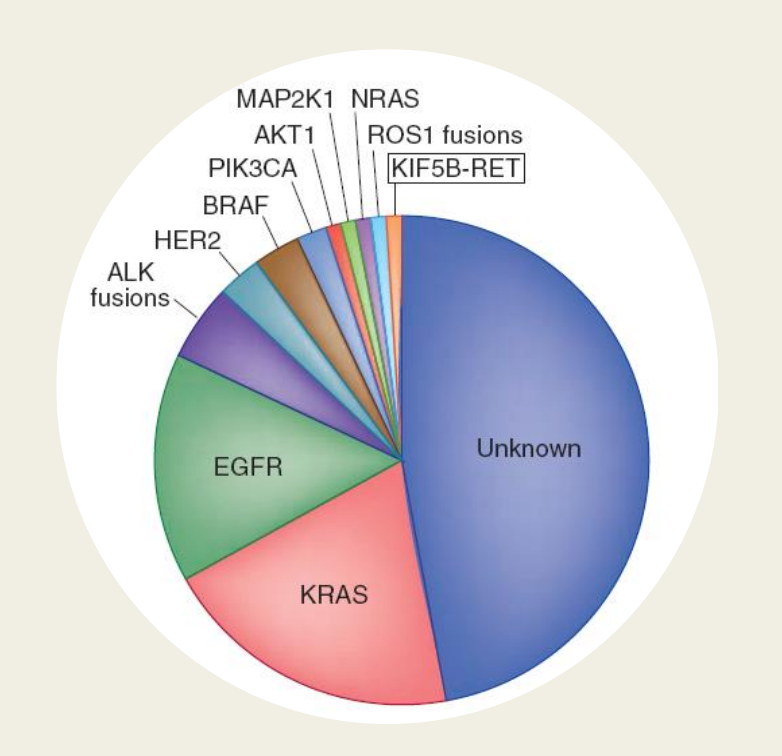
## Lungenkarzinom/NSCLC, quo vadis?



Plattenepithelkarzinom p40 positiv TTF1 negativ

Therapie, monatlich ab 30.000 €, jährlich bis 250.000 €

Molekularpathologie



Adenokarzinom P40 negativ TTF1 positiv (ca. 65%)

TTF1 negativ (ca. 35%)



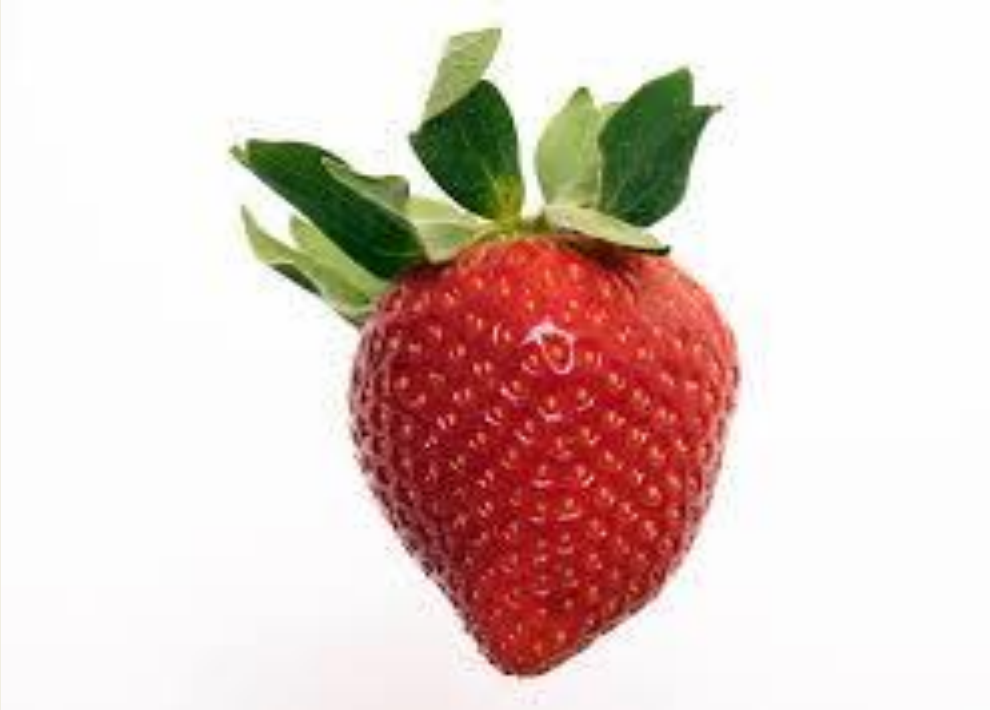




# Das TTF1 negative Adenokarzinom der Lunge: Maiglöckchen, Bärlauch, Lorchel, Morchel, Erdbeere, Scheinerdbeere





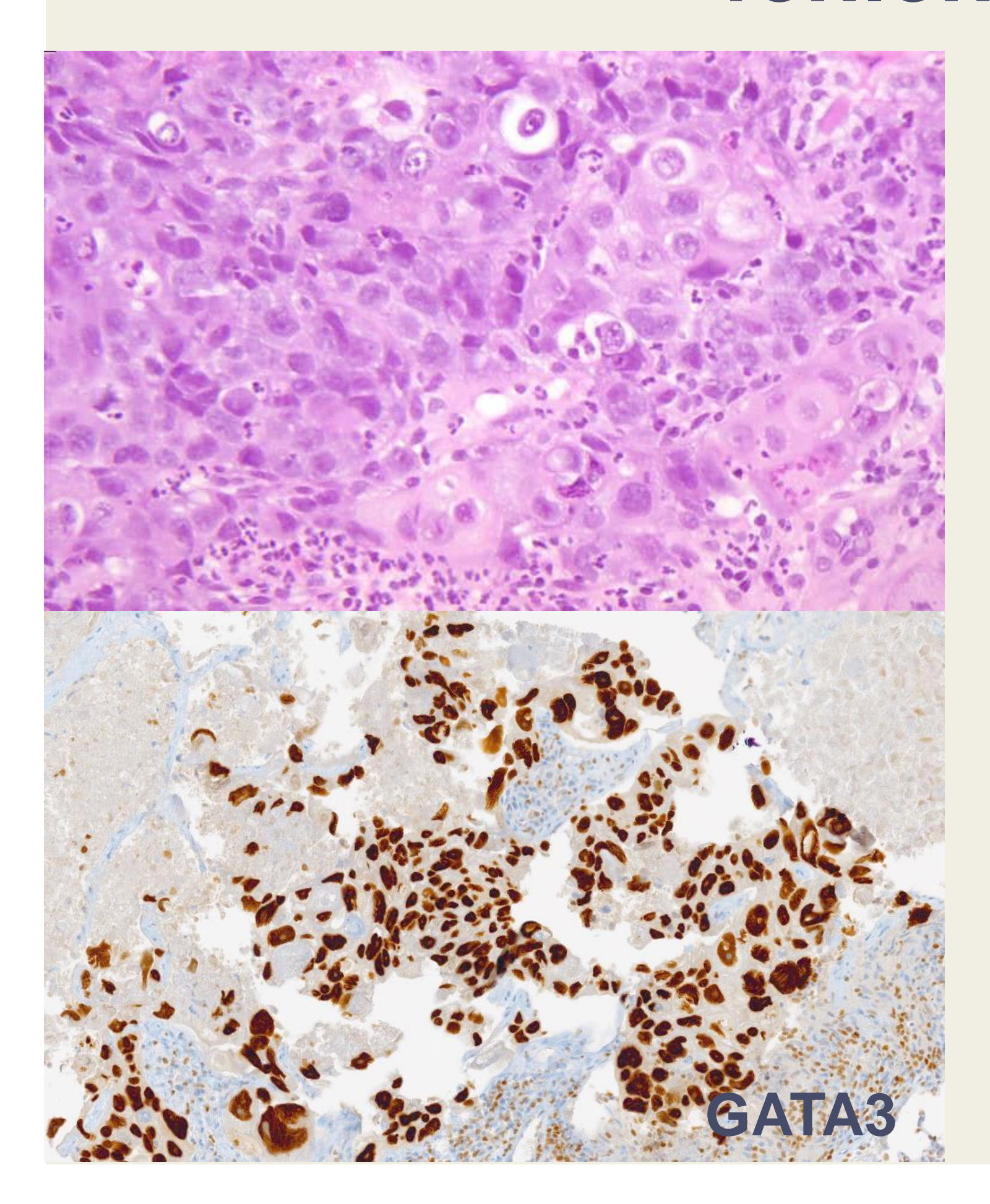








## Das "TTF1 negative Adenokarzinom" der Lunge bei fehlender klinischer Information



Zuweisung: Histologie aus Lunge? NSCLC?

Immunhistochemie molekulare Diagnostik 1800€



Anruf: ".....wussten Sie, dass bei der Patientin ein Mammakarzinom bekannt ist?"



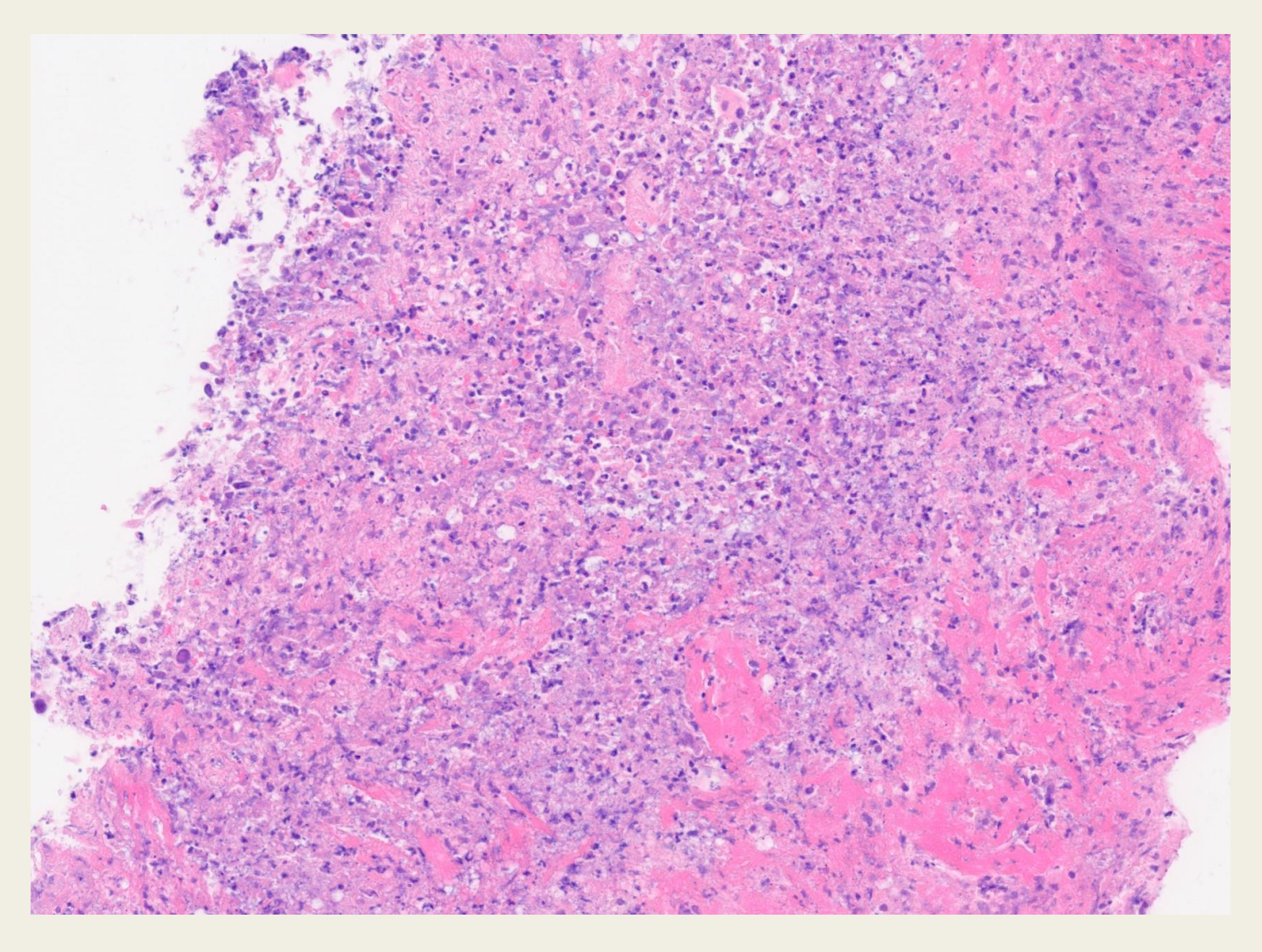
Du sollst Deinen Nächsten lieben.... Markus 12:31

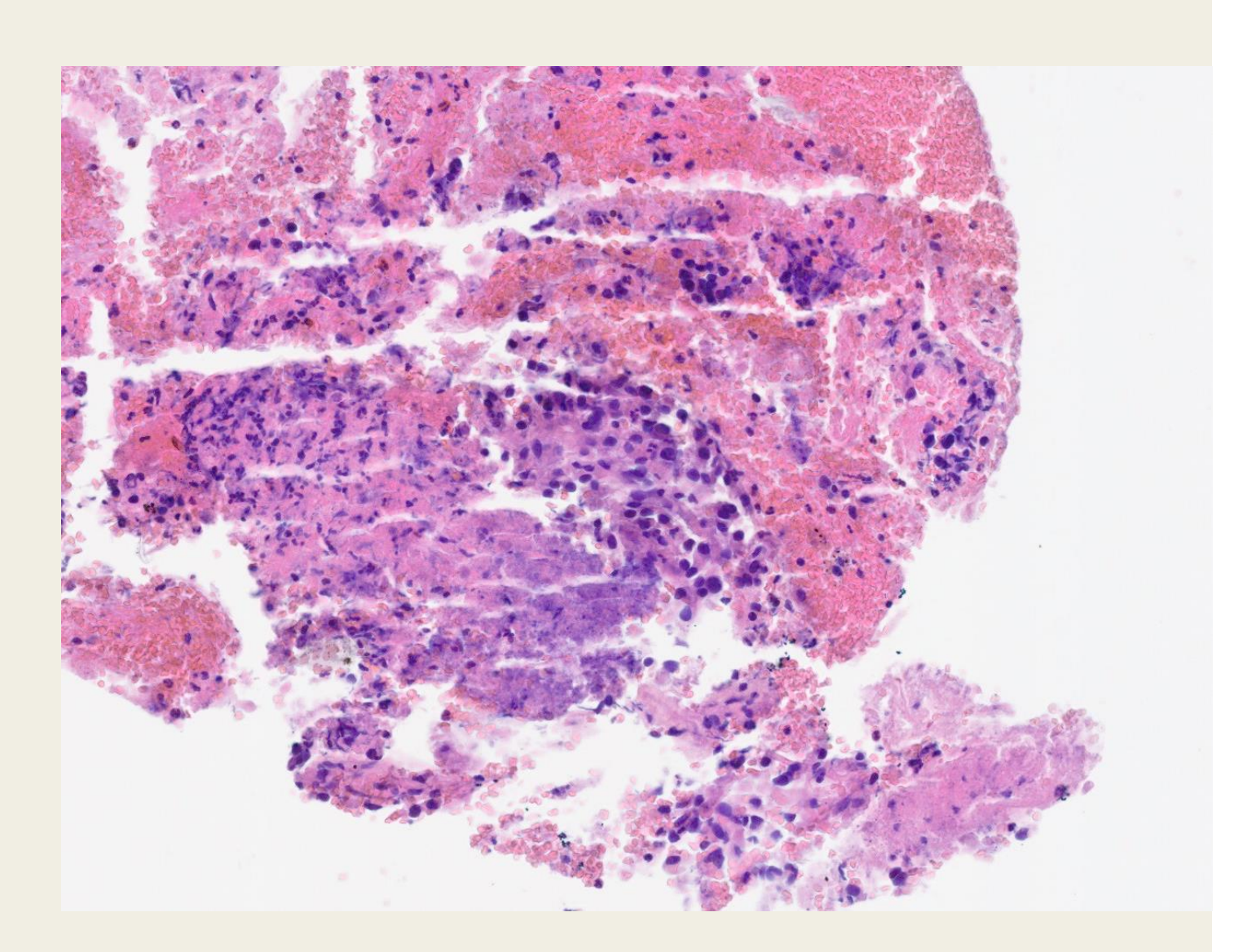




## Quantifizierung von Proben für NGS







1800€

- Biopsiegewinnung ist nicht immer erfolgreich
- Manche Proben bestehen aus Detritus
- Mindestens 200 Kerne
- Mindestens 15% Tumorkerne
- Rebiopsie
- Liquid Biopsy





## Materialauswahl Mutationsanalyse Lungenkarzinom

- Primärtumor vs Metastase: beides geeignet, Treibermutationen dominant
- Resektat/Biopsie vs Zytologie: Biopsie wird bevorzugt,
   Zytoblöcke nutzbar (CAVE: Tumorzellgehalt),
   Ausstriche für DNA und RNA Isolation nutzbar (keine IHC)
- Tumorzellgehalt (>30% Sanger Sequenzierung, >15% NGS)
- Kleine Proben unter 200 Tumorzellen schwierig,







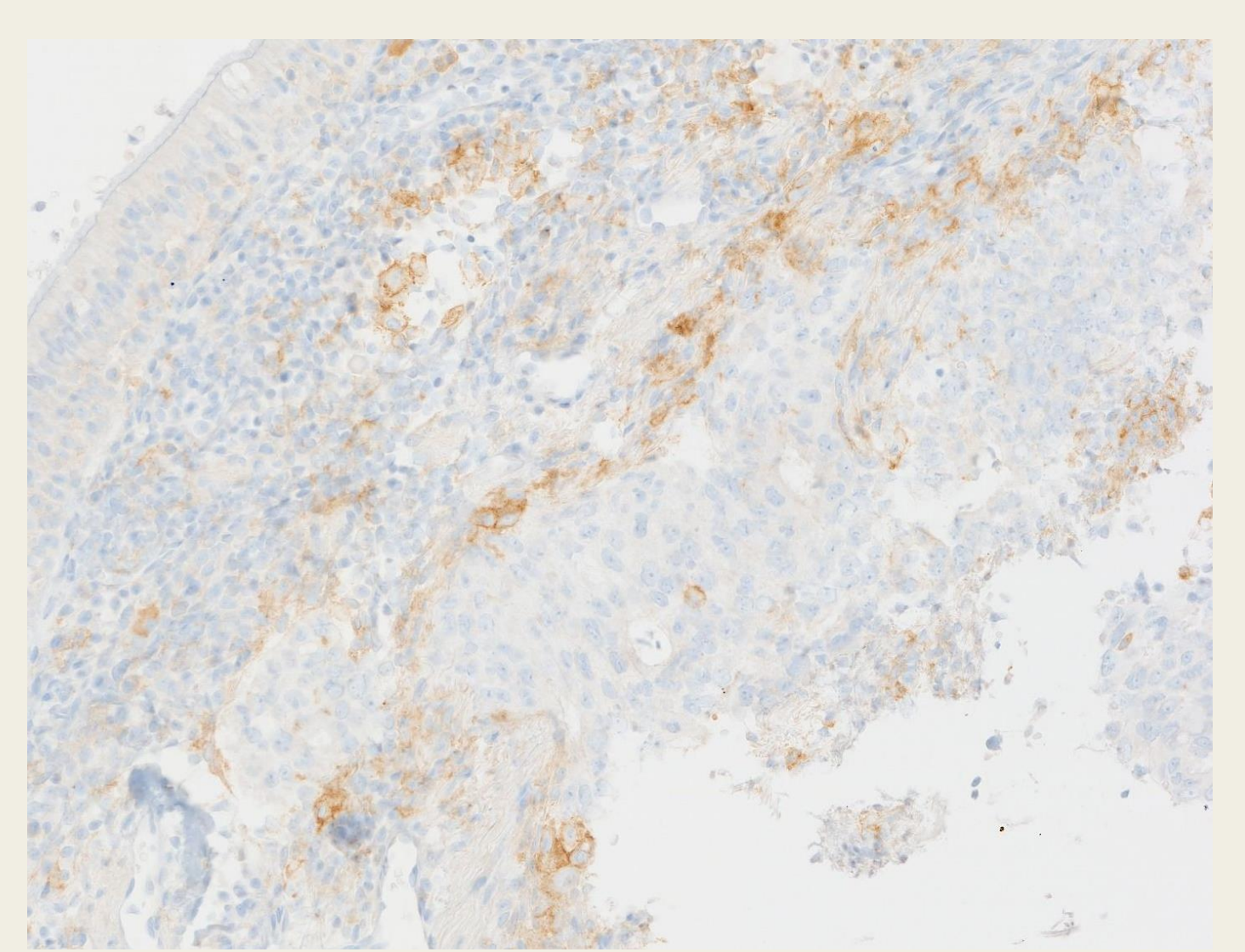




## Patient 57 Jahre, Therapierelevante Diagnostik Immunhistochemie, FISH, NGS (Mutation, Fusion)

Gen/genet.Veränderung	Untersuchung	Hotspots in Region	Ergebnis			
PD-L1	IHC		10-20% membranär pos			
MET Amplifikation	FISH		Keine Amplifikation			
ALK Fusion	NGS RNA		Keine Fusion			
ROS1 Fusion	NGS RNA		Keine Fusion			
NTRK 1-3 Fusion	NGS RNA		Keine Fusion			
RET Fusion	NGS RNA		Keine Fusion			
ALK Mutation	NGS	Exon 22-25	WT			
BRAF Mutation	NGS	Exon 11, 15	WT			
CTNNB1 Mutation	NGS	Exon 3	WT			
EGFR Mutation	NGS	Exon 18-21	WT			
ERBB2 Mutation	NGS	Exon 8, 19, 20	WT			
HRAS Mutation	NGS	Exon 2, 3, 4	WT			
IDH1 Mutation	NGS	Exon 4	WT			
IDH2 Mutation	NGS	Exon 4	WT			
FGFR1 Mutation	NGS	Exon 4-7, 10, 12-15	WT			
FGFR2 Mutation	NGS	Exon 6-12, 13-15, 18	p.V496F c.1486G>T			
FGFR3 Mutation	NGS	Exon 3, 6, 7, 9, 10, 12, 14, 16	WT			
FGFR4 Mutation	NGS	Exon 3, 6, 9, 12, 13, 15, 16	WT			
KEAP1 Mutation	- NGS DNA	Exon 2-6	p.H311Q c.933C>G			
KRAS Mutation	NGS	Exon 2-4	WT			
MAP2K1 Mutation	NGS	Exon 2, 3	WT			
MET Mutation	NGS	Exon 14+Introns, 16-19	WT			
NRAS Mutation	NGS	Exon 2-4	WT			
NTRK1 Mutation	NGS	Exon 13-17	WT			
NTRK2 Mutation	NGS	Exon 14-19	WT			
NTRK3 Mutation	NGS	Exon 15-20	WT			
PIK3CA Mutation	NGS	Exon 10, 21	WT			
PTEN Mutation	NGS	Exon 1-8	WT			
RET Mutation	NGS	Exon 10-18	WT			
ROS1 Mutation	NGS	Exon 34-41	WT			
STK11 Mutation	NGS	Exon 1-9	WT			
TP53 Mutation	NGS	Exon 4-8	WT			

Gen	Exon	HGVS_c		Allel - freq. (%)	Biologische Bewertung
FGFR2	11	c.1486G>T	p.V496F	6%	Unklare Signifikanz
KEAP1	3	c.933C>G	p.H311Q	8%	Unklare Signifikanz



**NRAS ROS1 fusions** KIF5B-RET PIK3CA BRAF fusions Unknown **EGFR** KRAS

**Immunhistochemie PD-L1** 





## **Ergebnisse Pathologie**

Transbronchiale Biopsie linke Oberlappen-Ostien: Bronchialschleimhautfragmente mit Anteilen eines nicht kleinzelligen Bronchialkarzinoms im Sinne eines mäßig differenzierten Adenokarzinoms der Lunge (G2),

TTF-1 positiv. PD-L1 (Dako 22C3): TPS 20% (20% der Tumorzellen mit membranärer Expression).

- I. FNA Position 10R: Material aus dem Stichkanal, lymphoretikuläres Gewebe ist nicht sicher erfasst, keine atypischen Zellen.
- II. FNA Position 7 und IV. FNA Position 11L (inkl. V. Zytoblock): Es handelt sich jeweils um lymphoretikuläres Gewebe mit einzelnen atypischen Epithelzellverbänden, jeweils passend zu metastatischen Absiedelungen durch das Karzinom.

**Molpath:** Nicht kleinzelliges Bronchialkarzinom im Sinne eines mäßig differenzierten Adenokarzinoms der Lunge (G2) (K/2022/445) mit Nachweis je einer Punktmutation in den Genen FGFR2 und KEAP1. Kein Nachweis einer Fusion der Gene ALK, ROS1, NTRK1-3 und RET. Kein Nachweis einer MET-Amplifikation.

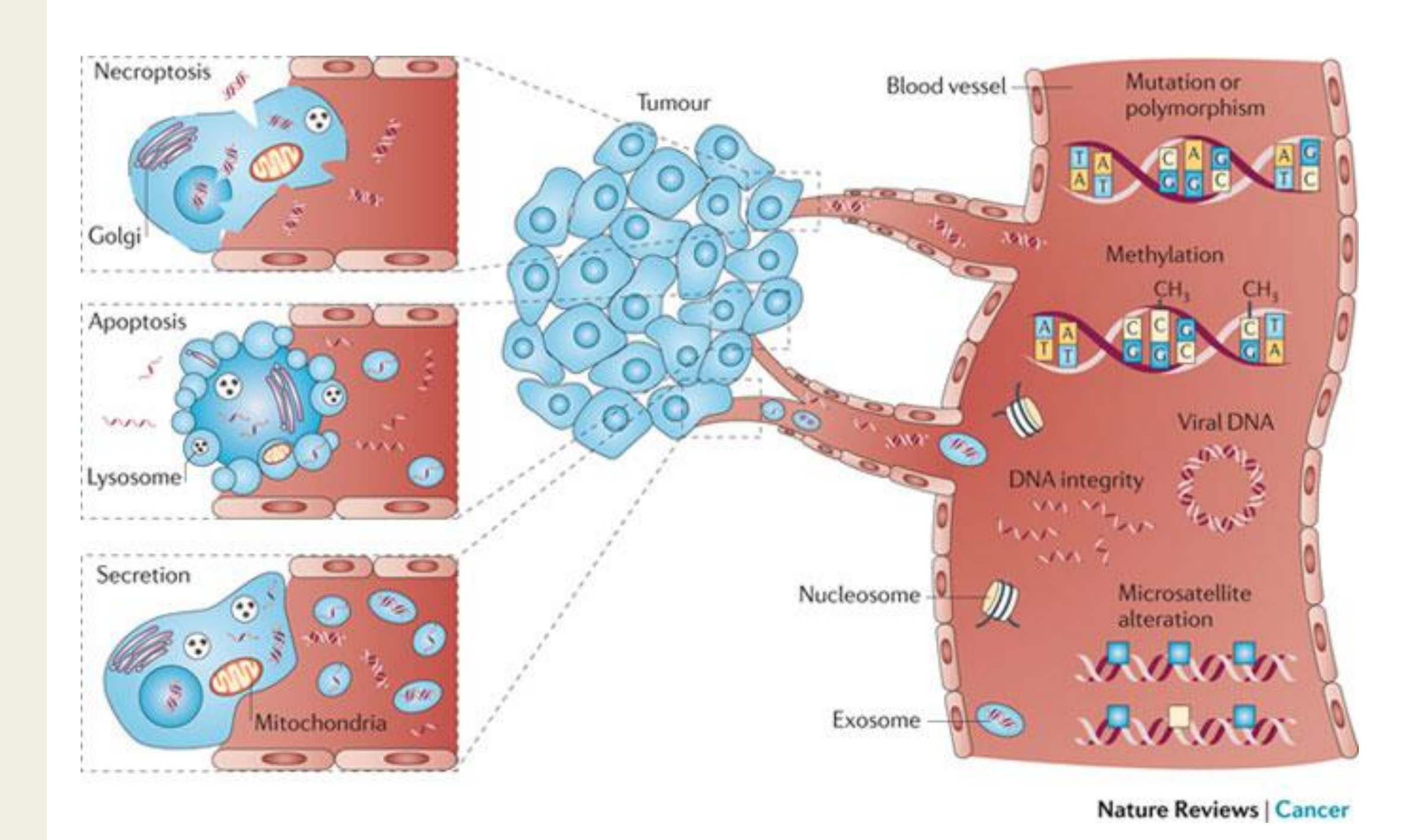




### Zellfreie DNA

- ⇒ 1994 Detektion genetischer
   Veränderungen des Tumors in der cfDNA
- Freisetzung von Nukleinsäuren durch Sekretion, Apoptose u. Nekrose der Tumorzellen

Schwarzenbach et al. Nat Rev Cancer 2011







## Liquid Biopsy – Vorteile

- Untersuchung cfDNA stellvertretend für das gesamte
   Tumorgenom, reflektiert Tumorheterogenität
- wiederholte Analyse an Blutproben als gering invasiven
   Eingriff möglich
- Kürzere Turn-around-Time
- Monitoring Krankheitsverlauf, Therapieansprechen, früher Rezidivnachweis, Tumorevolution







## Andere Tumorentitäten der Lunge

#### **DIPNECH**

Zufallsbefund

#### **Tumorlet**

Bis 5mm

#### **Typisches Carcinoid**

>5mm, bis 2 Mitosen Endoluminal, polypoid

#### **Atypisches Carcinoid**

>5mm, > 2 Mitosen Endoluminal, polypoid 25% Metastasen

#### Kleinzelliges Karzinom

Synaptophysin INSM1

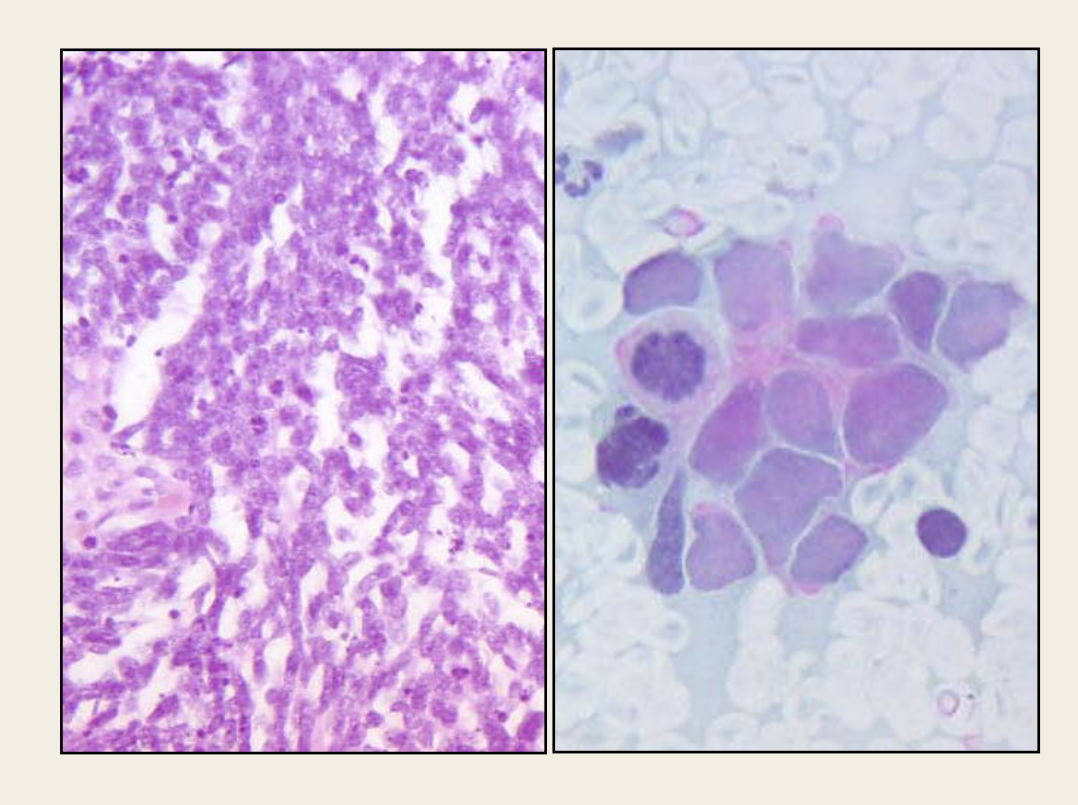
Chromogranin

Ki67: 100%

>10 Mitosen

PD-L1 meist negativ

Derzeit keine MOL



#### **Großzellig neuroendokrines Karzinom**

>10 Mitosen

Cytoplasma!

Ki67: keine 100%!

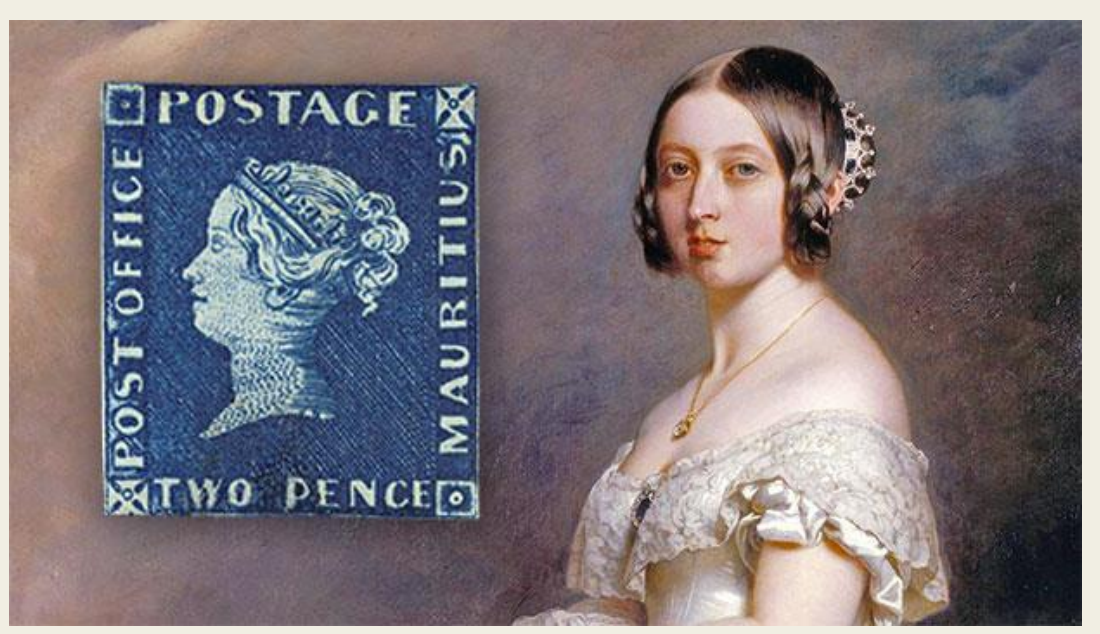
ev. p53 Mutation

ev. RB1 Verlust

DD Metastase?



#### Sarkomatoides Karzinom Lymphom

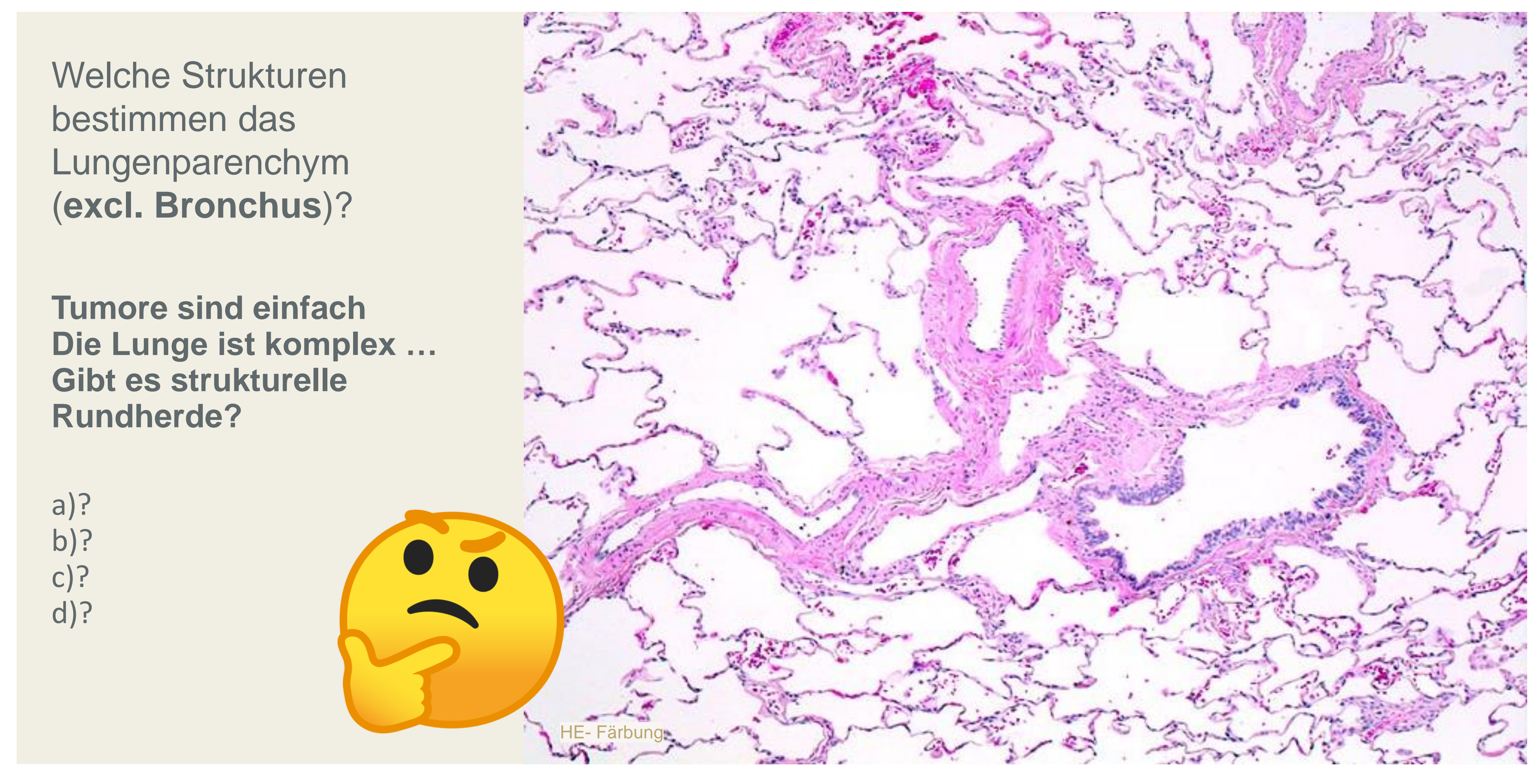


## Sarkome Pulmonales Blastom Teratom





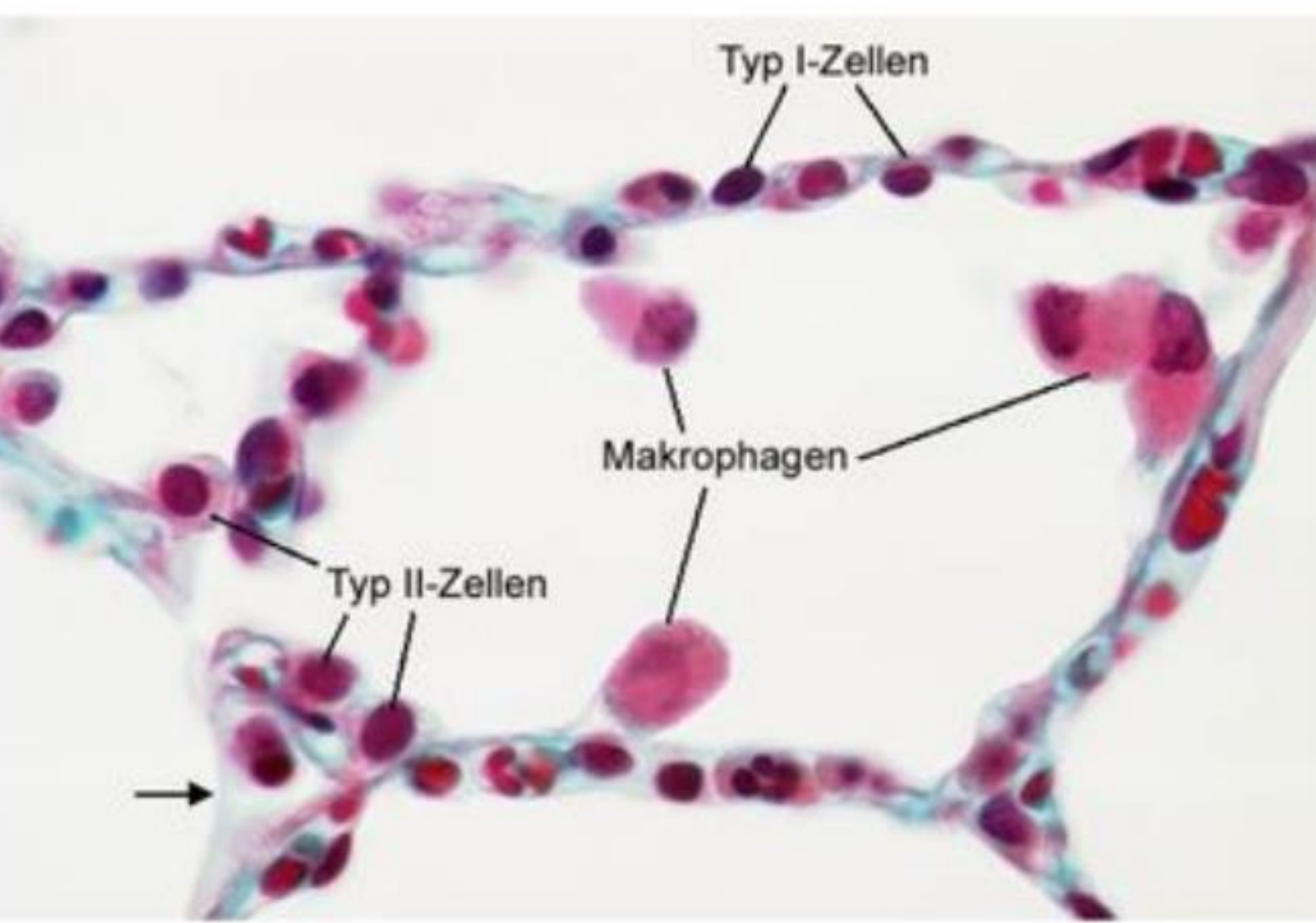






Flimmerepithel (Kontamination) Alveolaraufbau Ultrastruktur

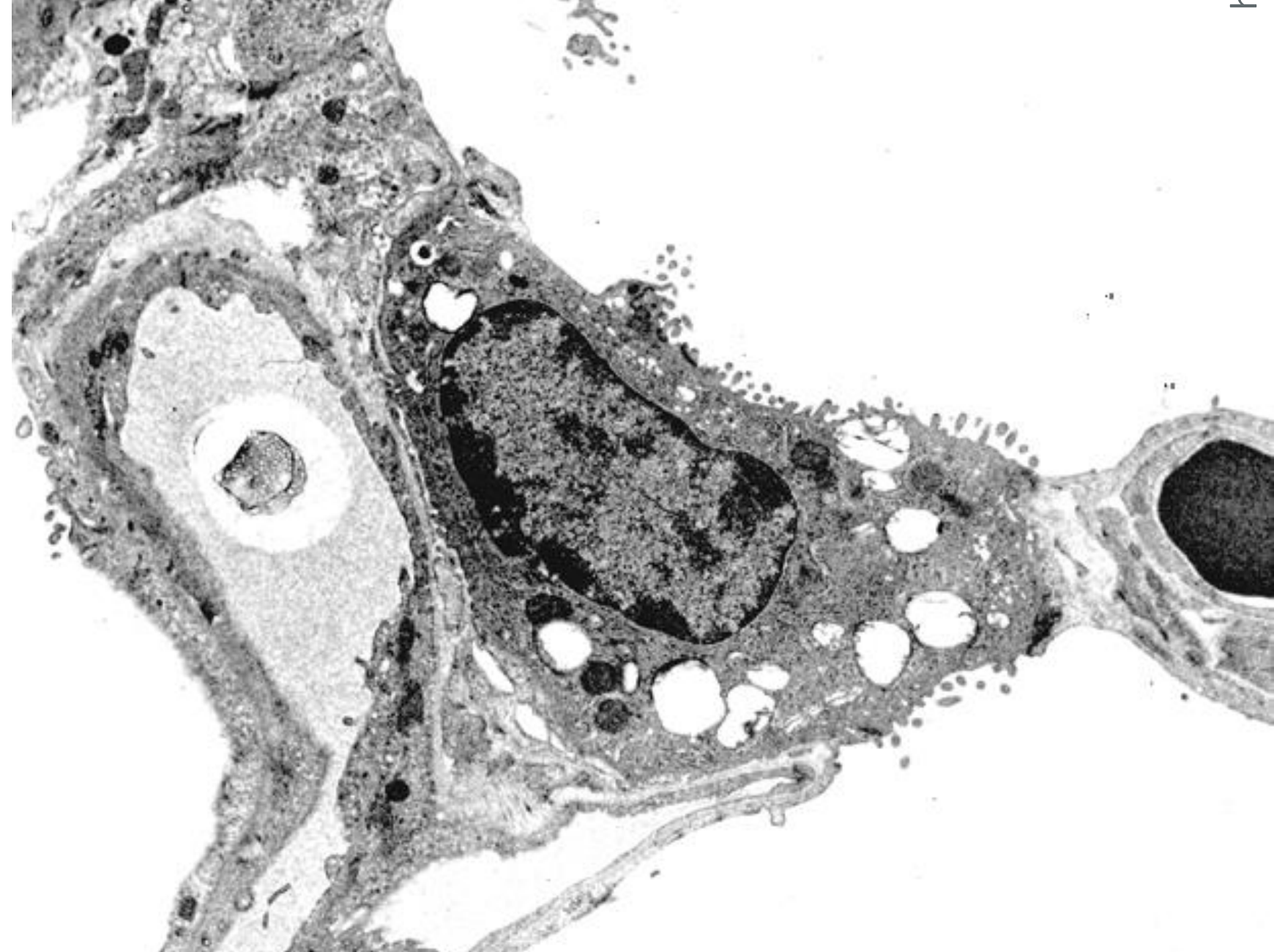




#### Normale Lunge:

- a) Makrophagen
- o) Kapillaren
- c) Bindegewebe
- d) Pneumocyten



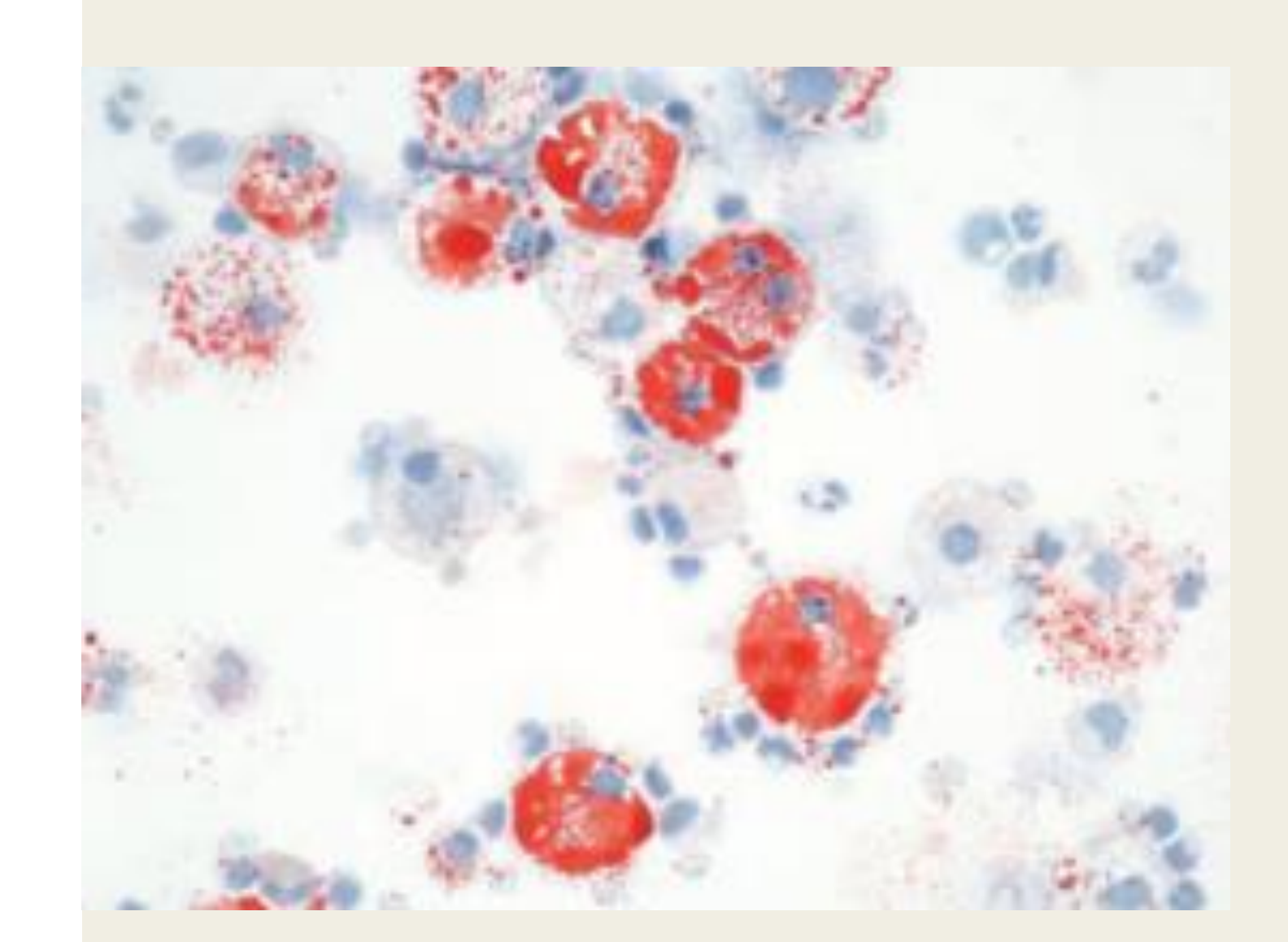




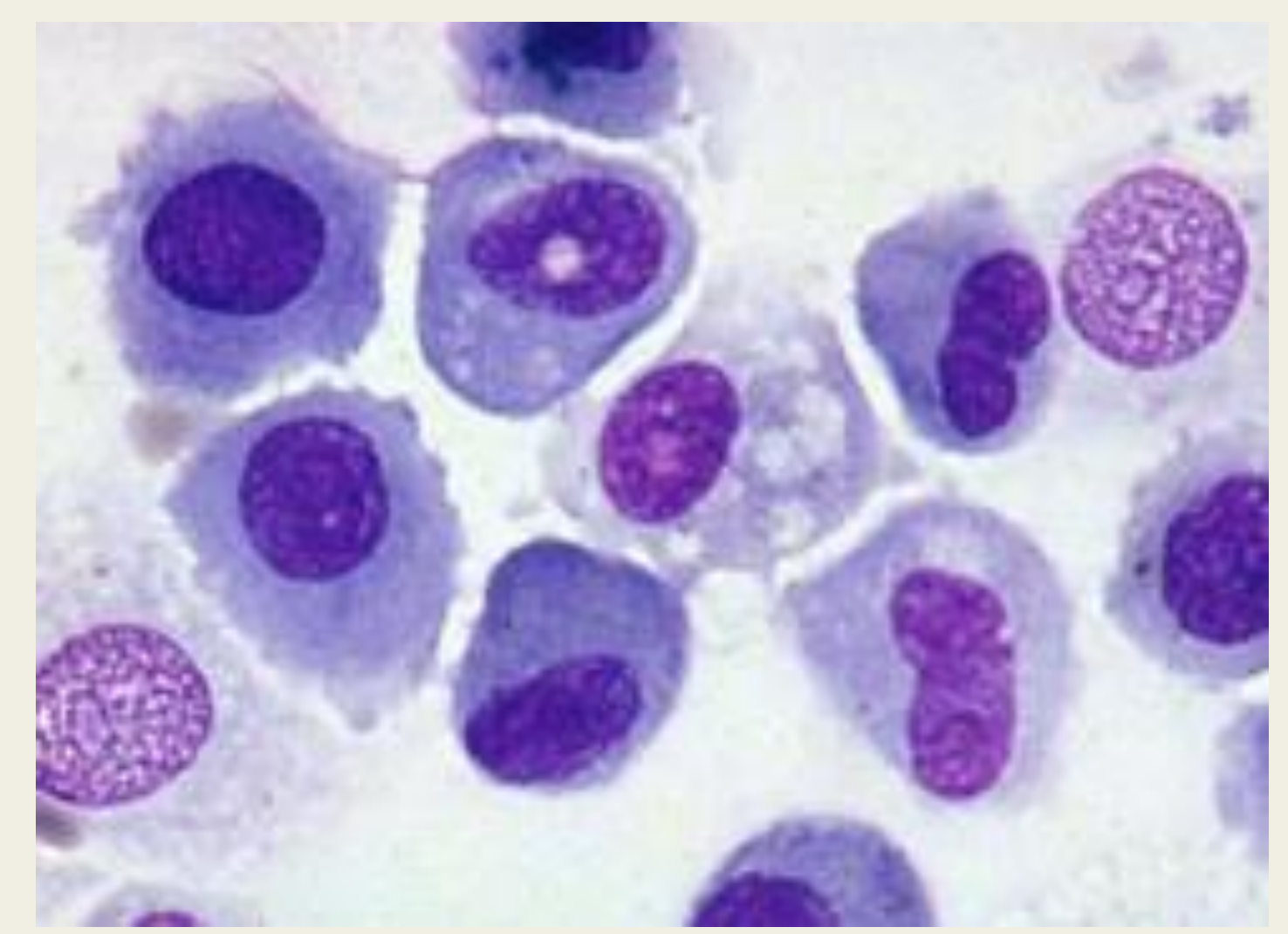


## Reaktionsmuster Makrophagen: Bronchioloalveoläre Lavage.

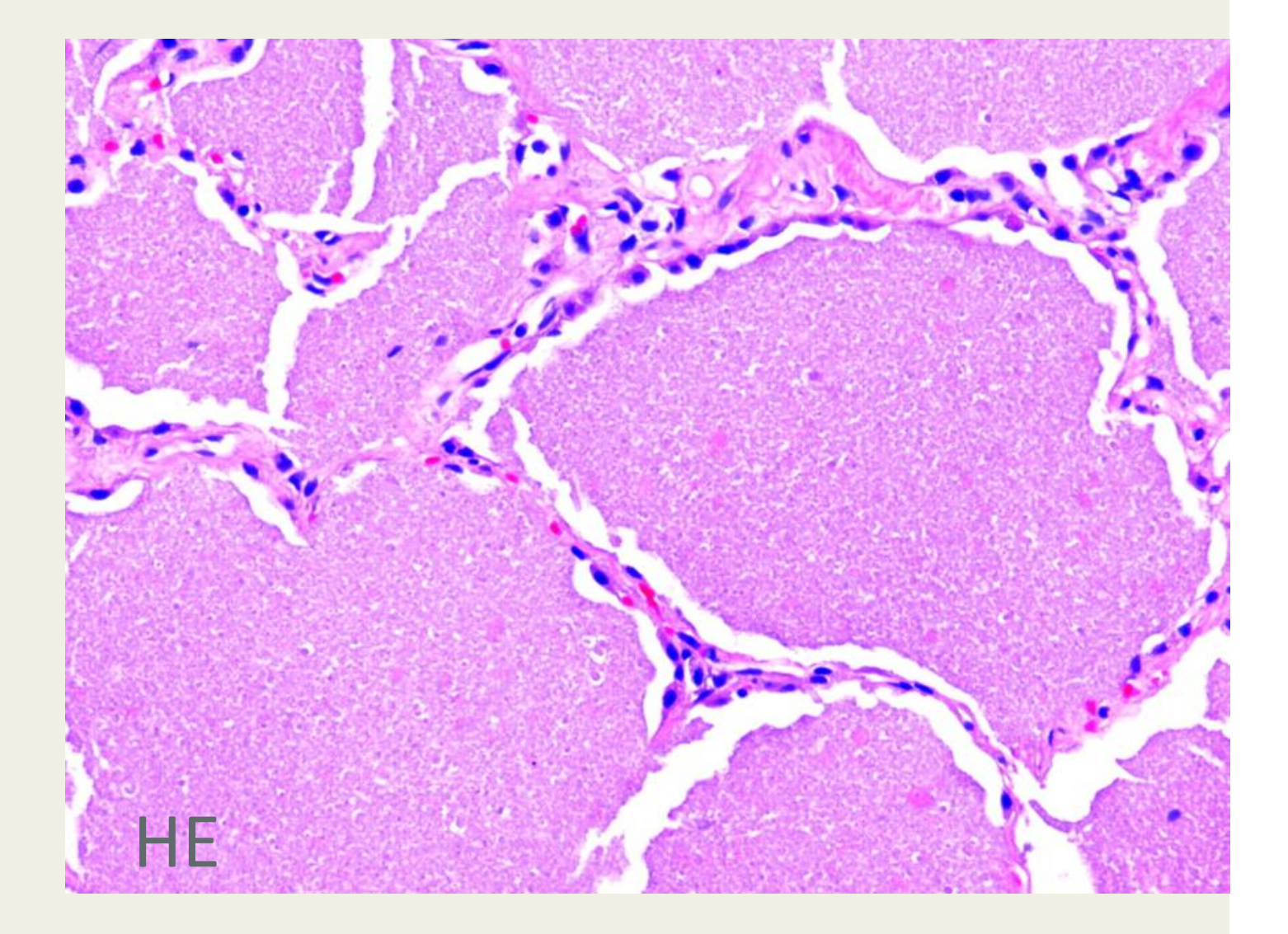
- 1) Makrophagen
- 2) Entzündungszellen
- 3) CD4/CD8 Ratio >1 (Immunlabor)
- 4) Erreger
- 5) Vielleicht Tumorzellen
- 6) Keine Flimmerepithelien



Öl-rot-Färbung



MGG- Färbung

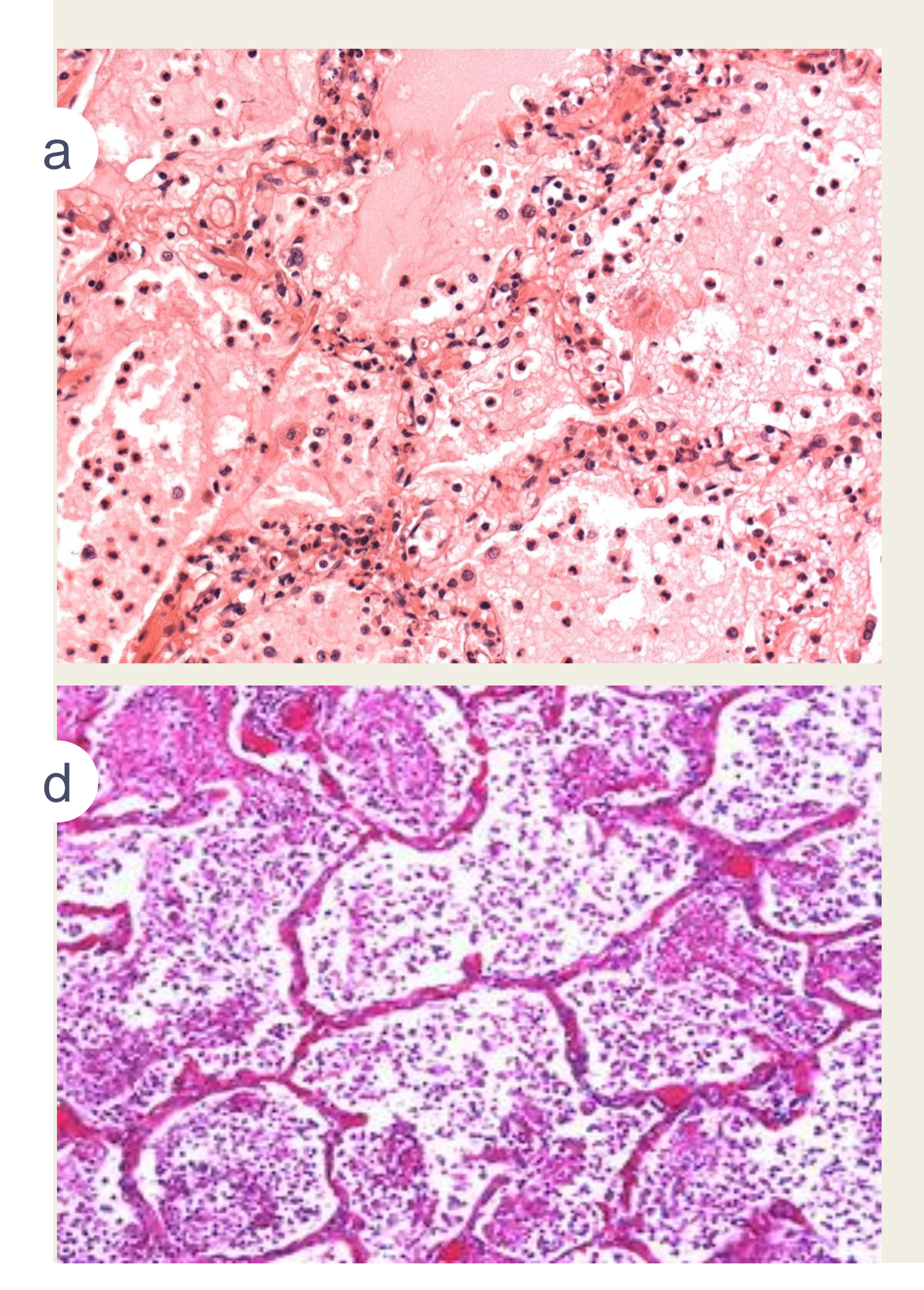


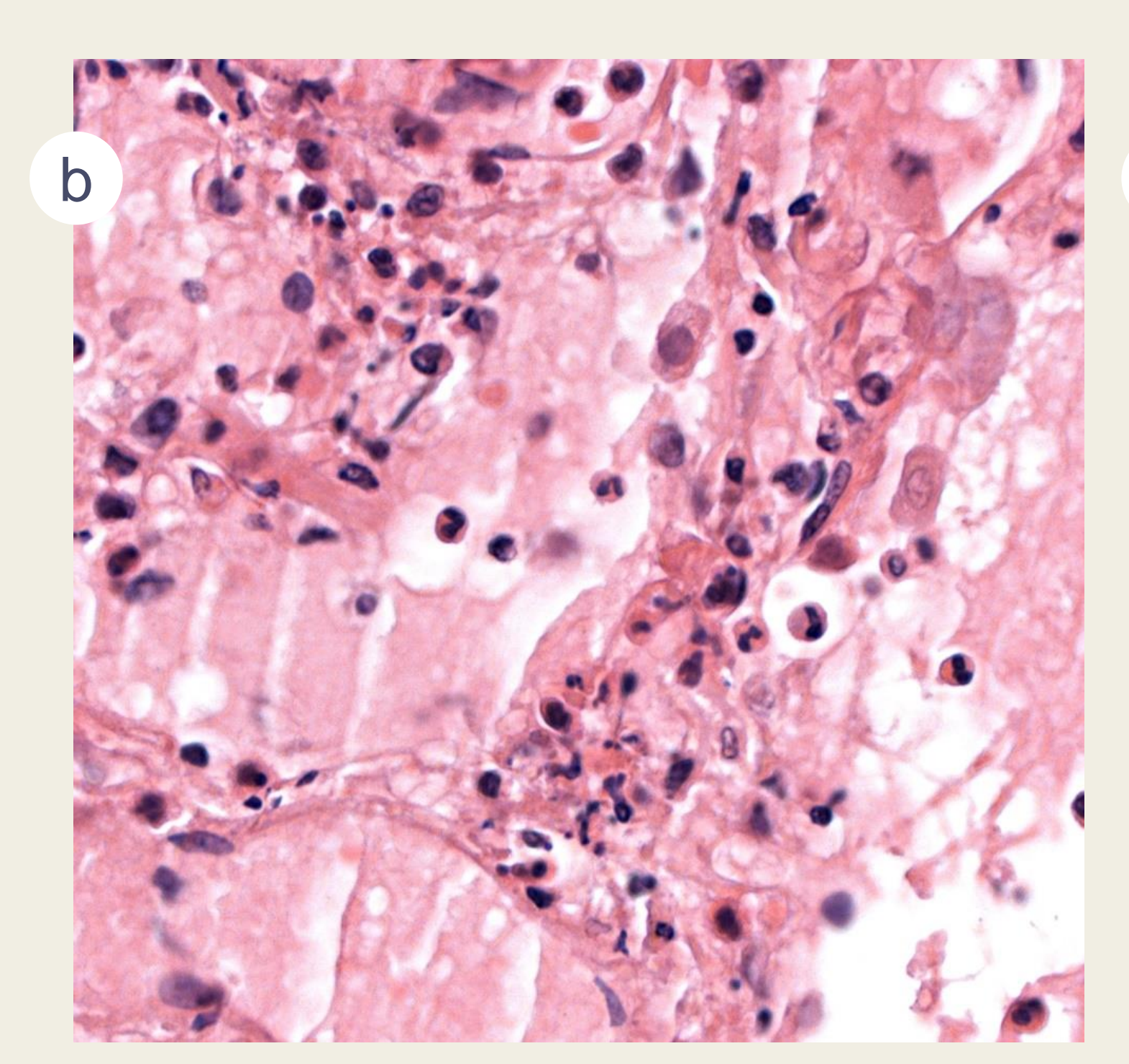
Alveolarproteinose Phospholipidproteinose

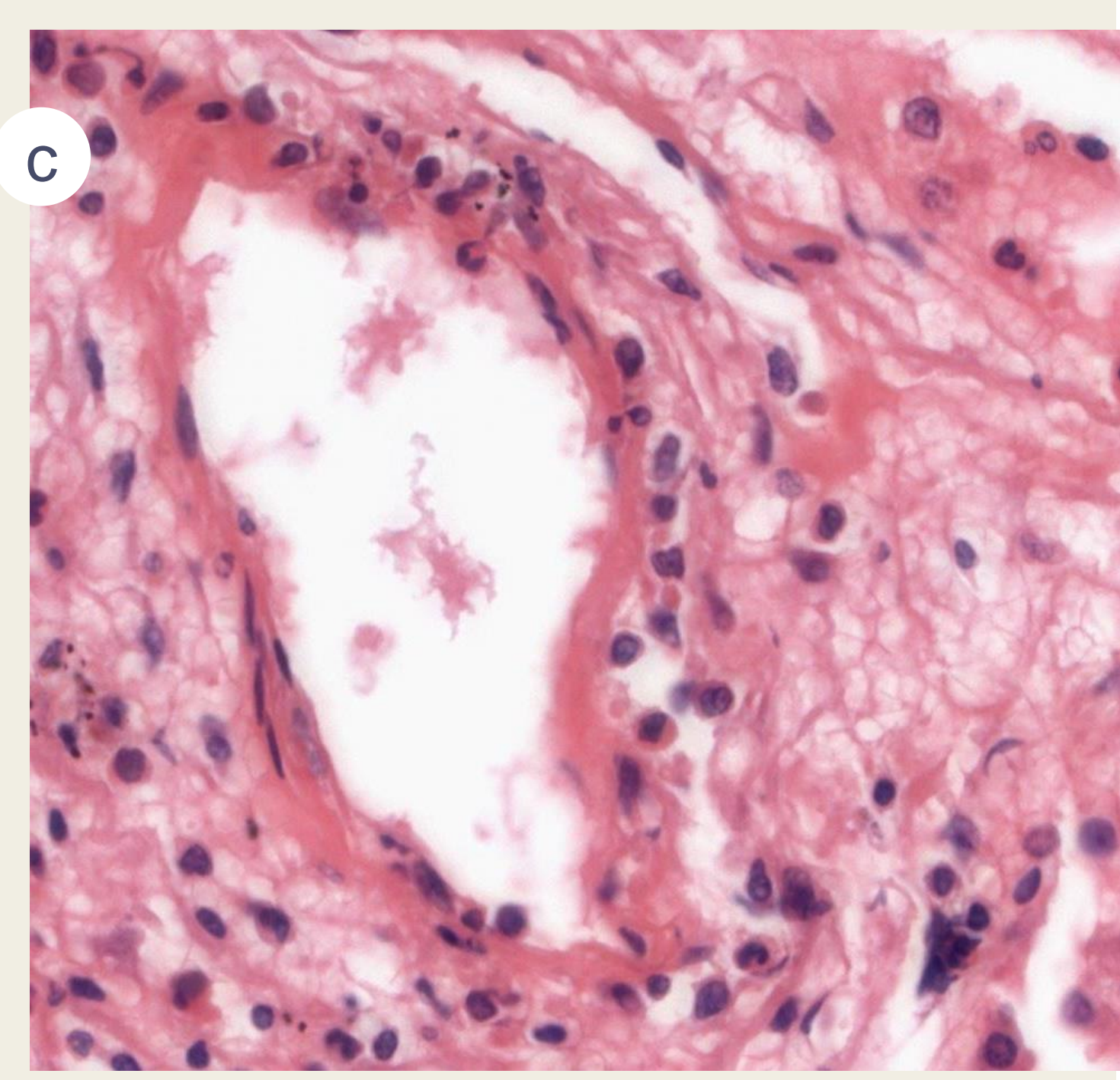




## Reaktionsmuster Kapillaren > ICU







b,c: Capillary leakage, Beispiel Initialphase Covid 19

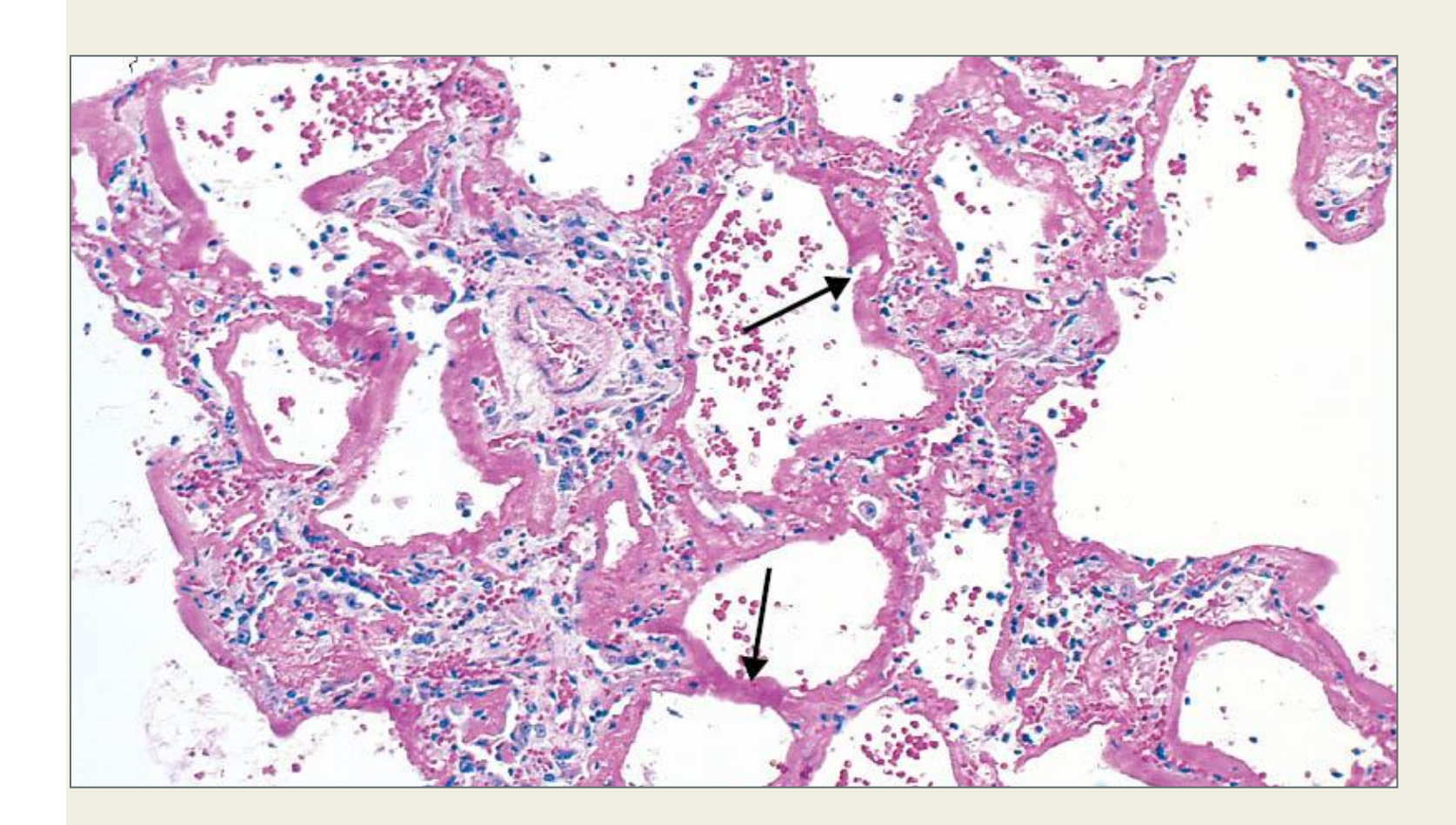
a: Kapillarschaden ARDS, Covid 19

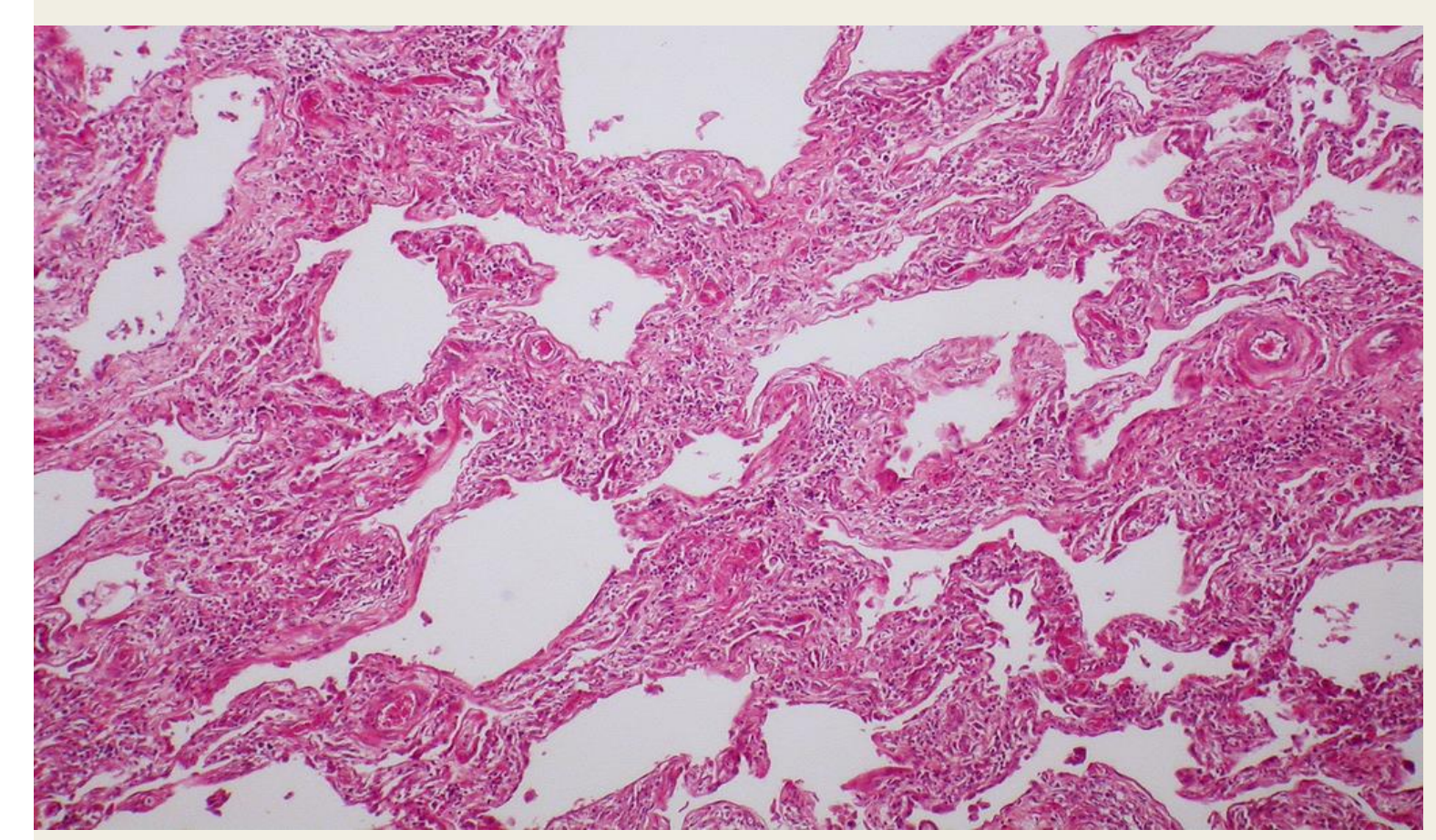
d: abszedierende Pneumonie



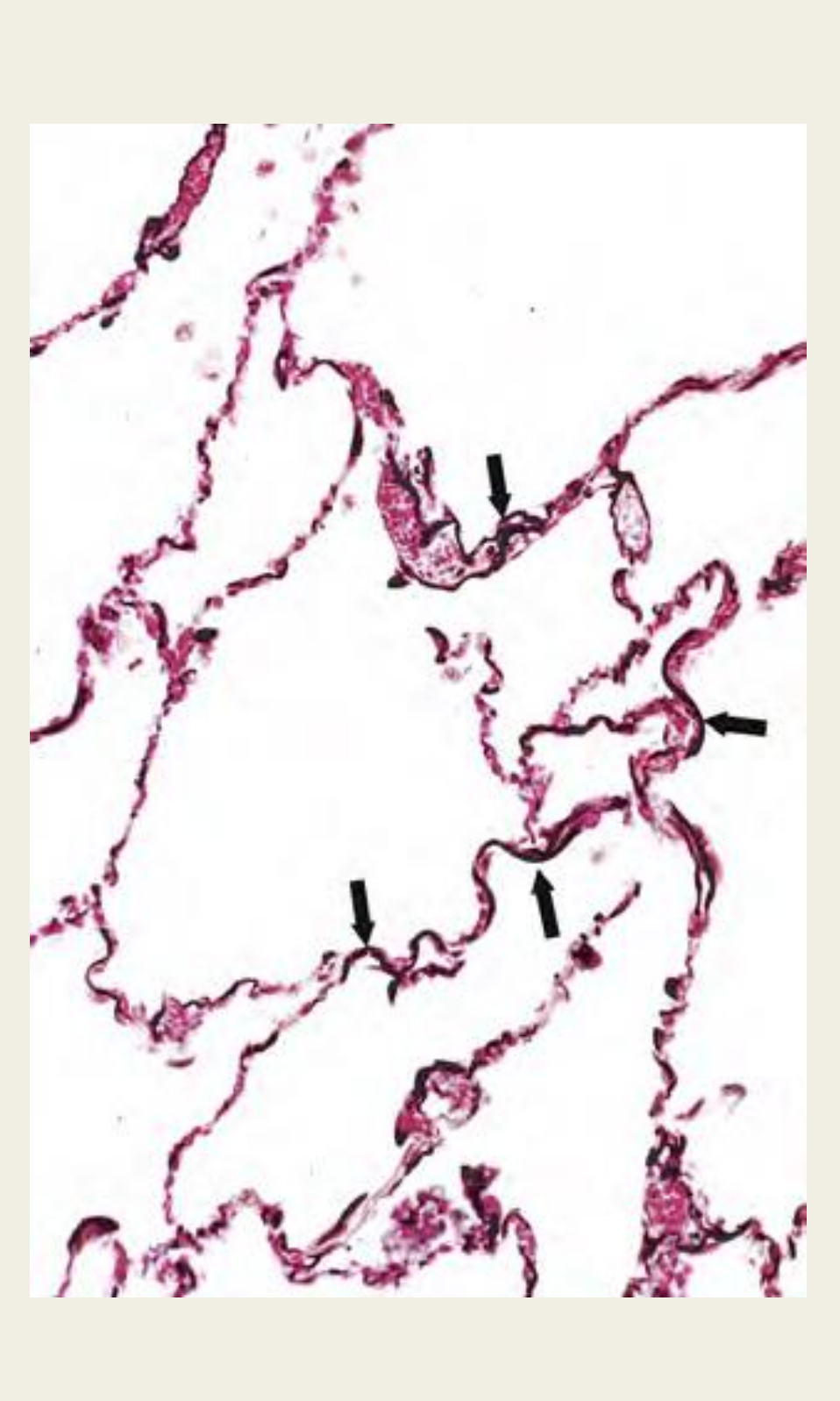


## Reaktionsmuster Kapillaren > Induktion Bindegewebe, Pneumocyten

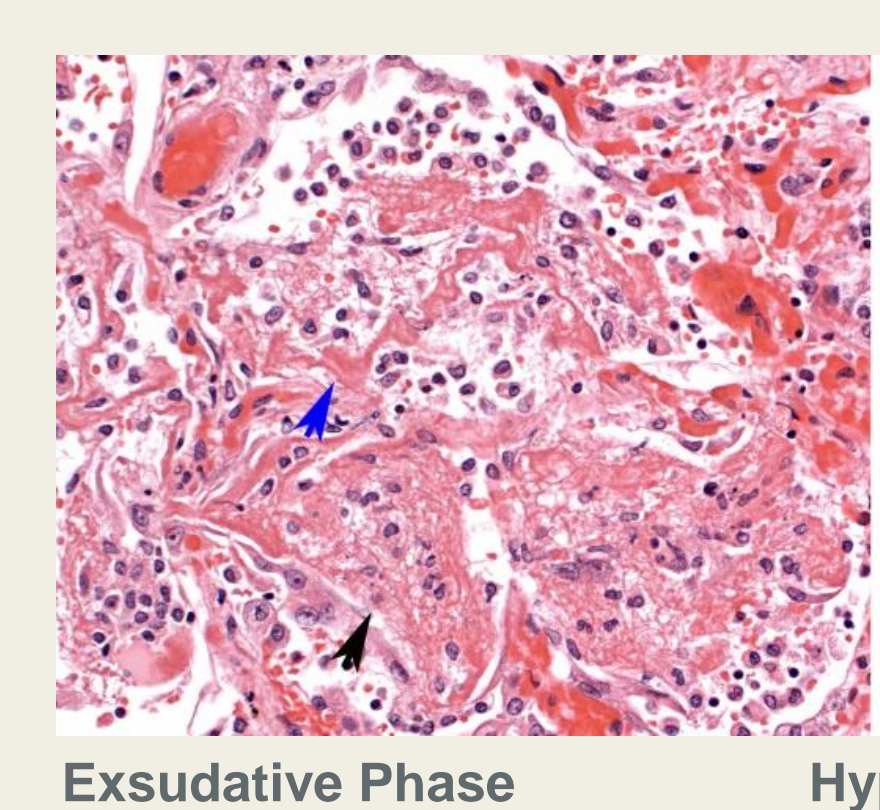




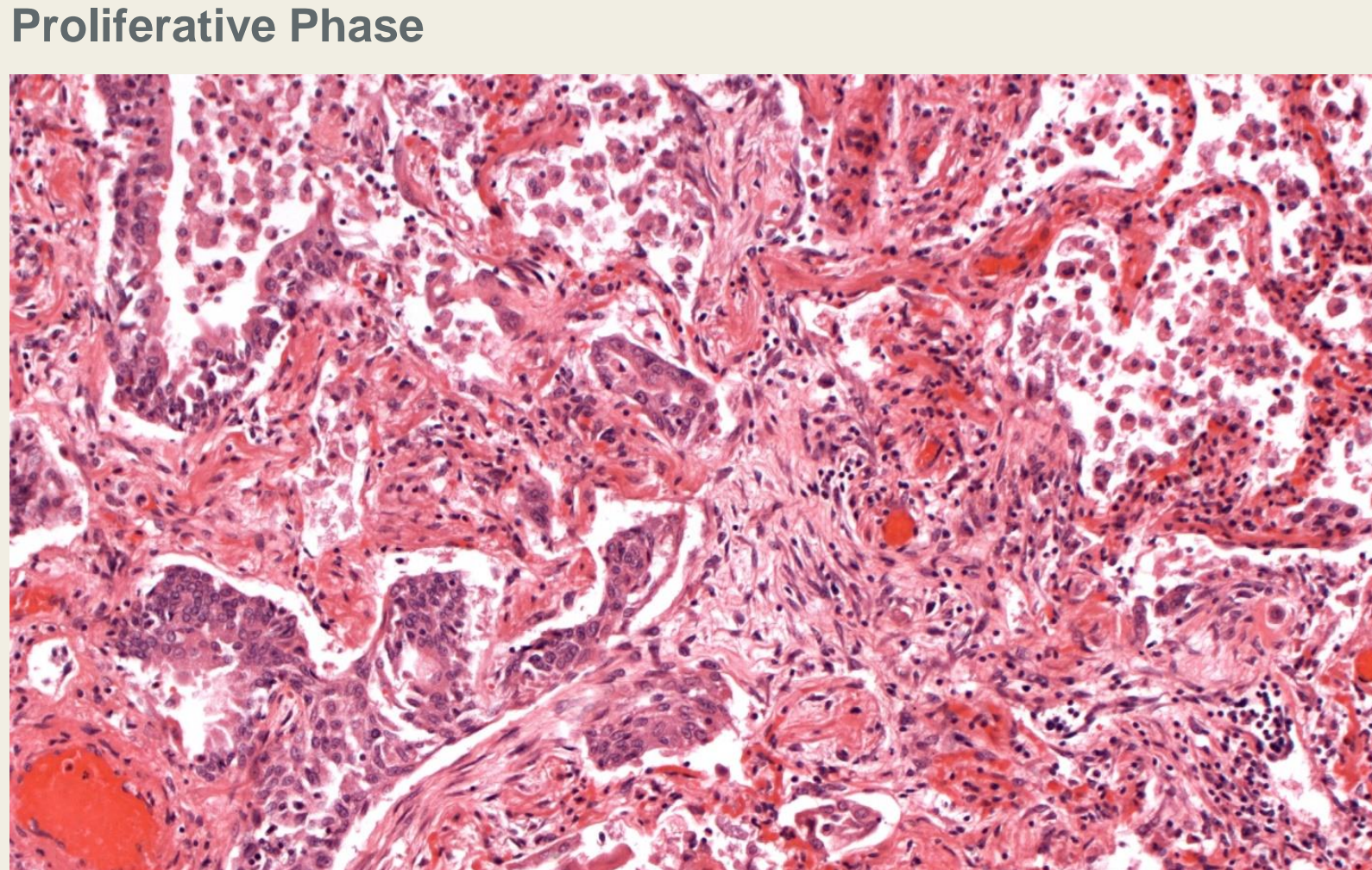
ARDS, Hyaline Membranen, End-stage



Normale Lunge



**Hyperplasie Pneumocyten II** 

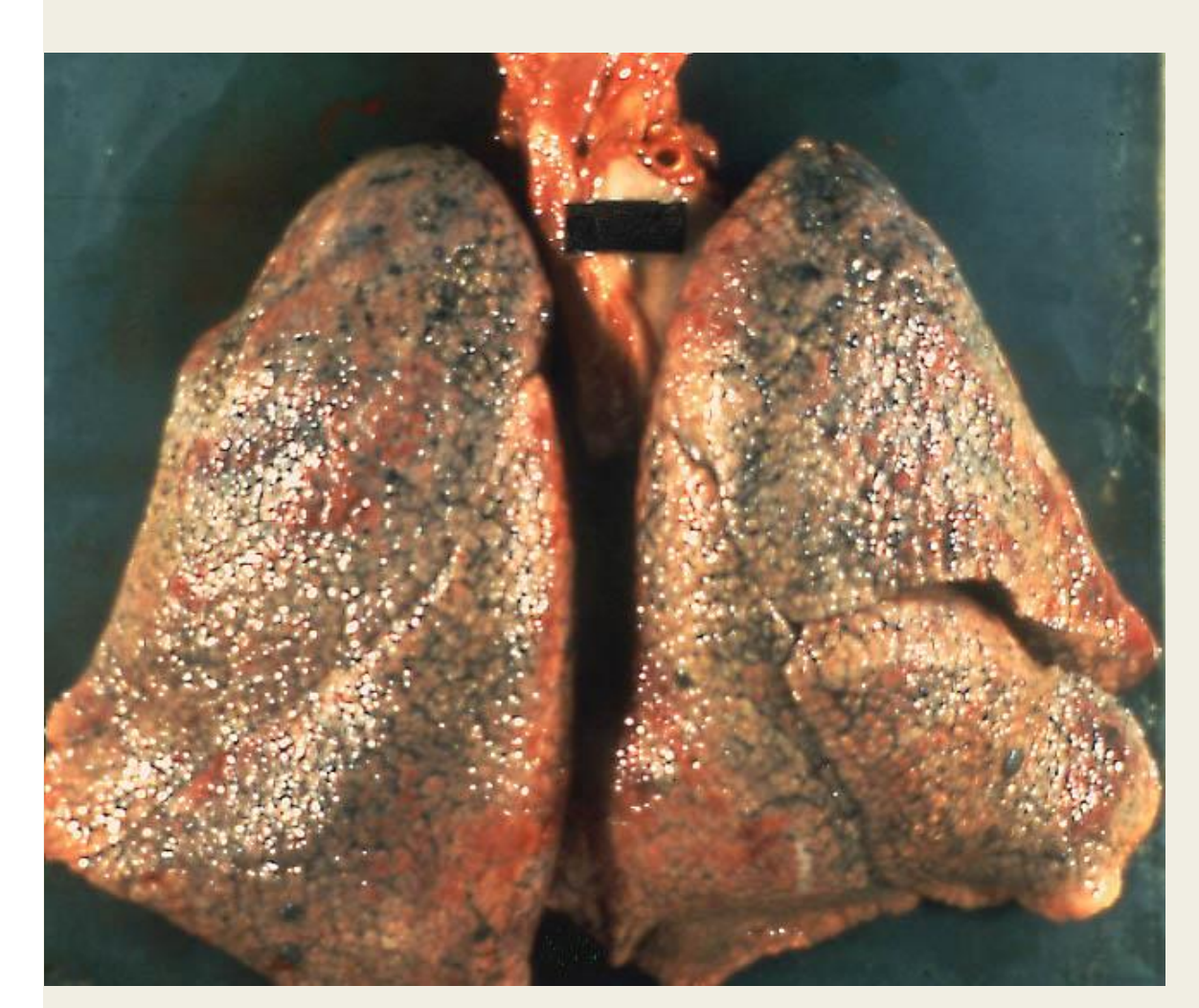


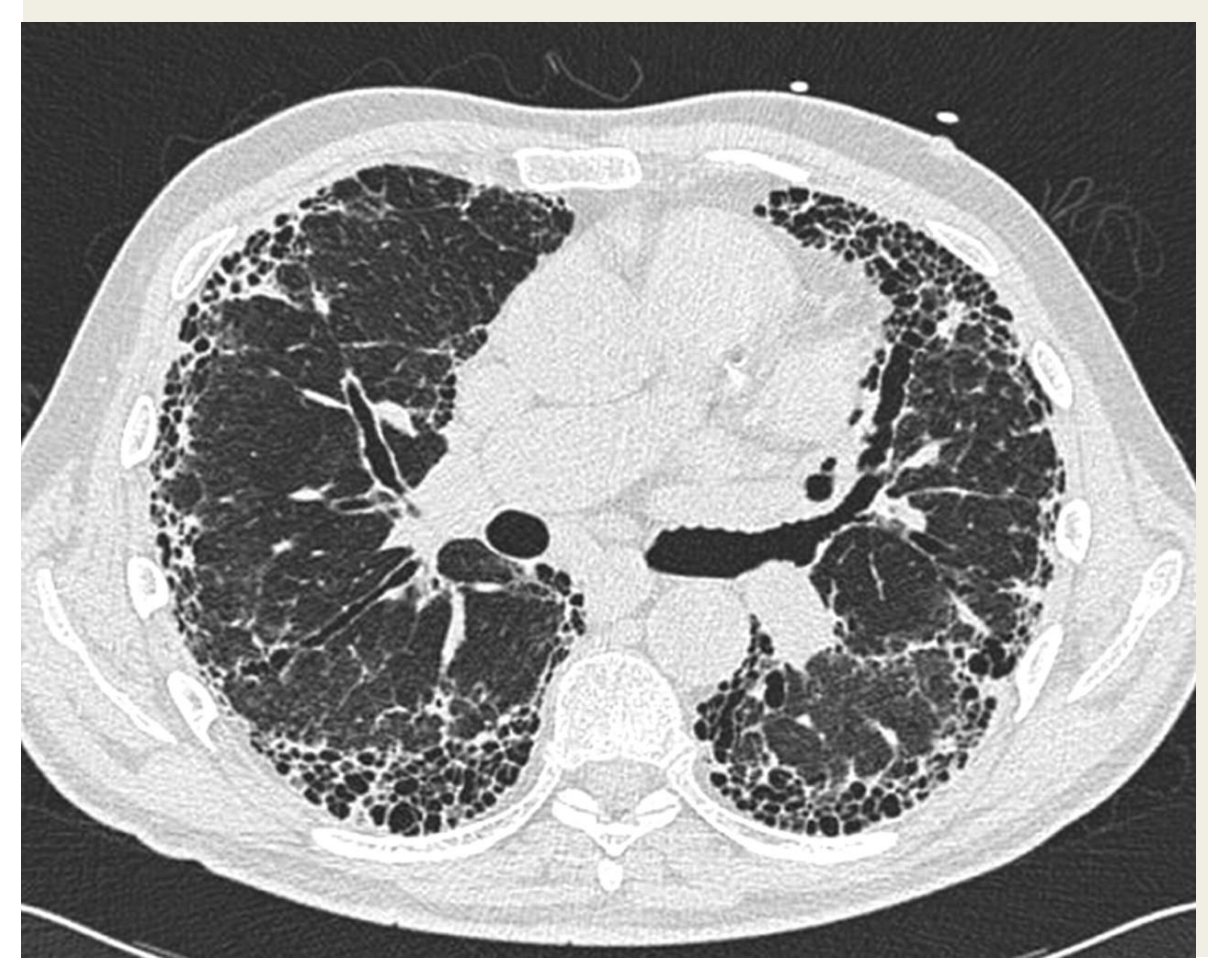
Covid 19





### Reaktionsmuster Bindegewebe, Fibroblasten > UIP pattern



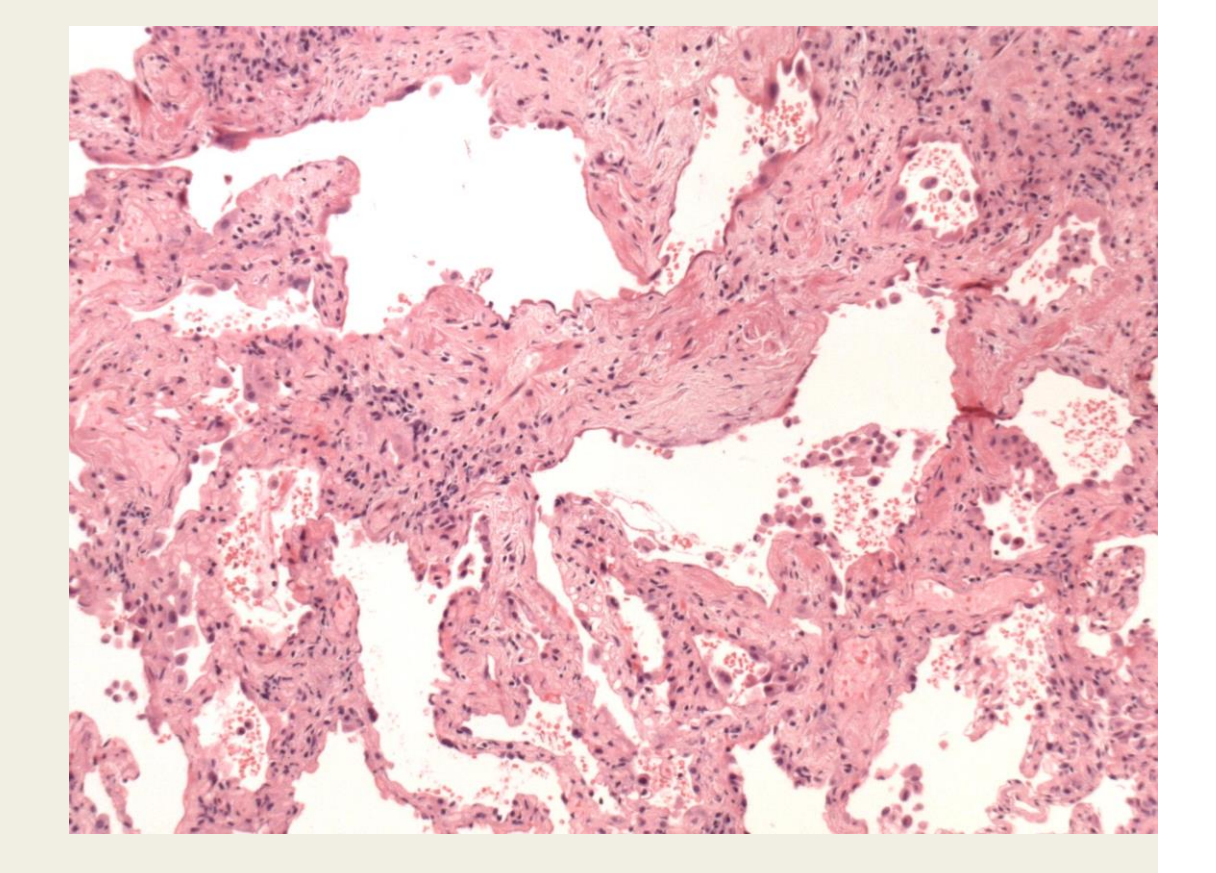


Organische (aus exogen-allergischer Alveolitis) und anorganische Stäube

Strahlentherapie Medikamente (Bleomycin) Autoimmun-KH

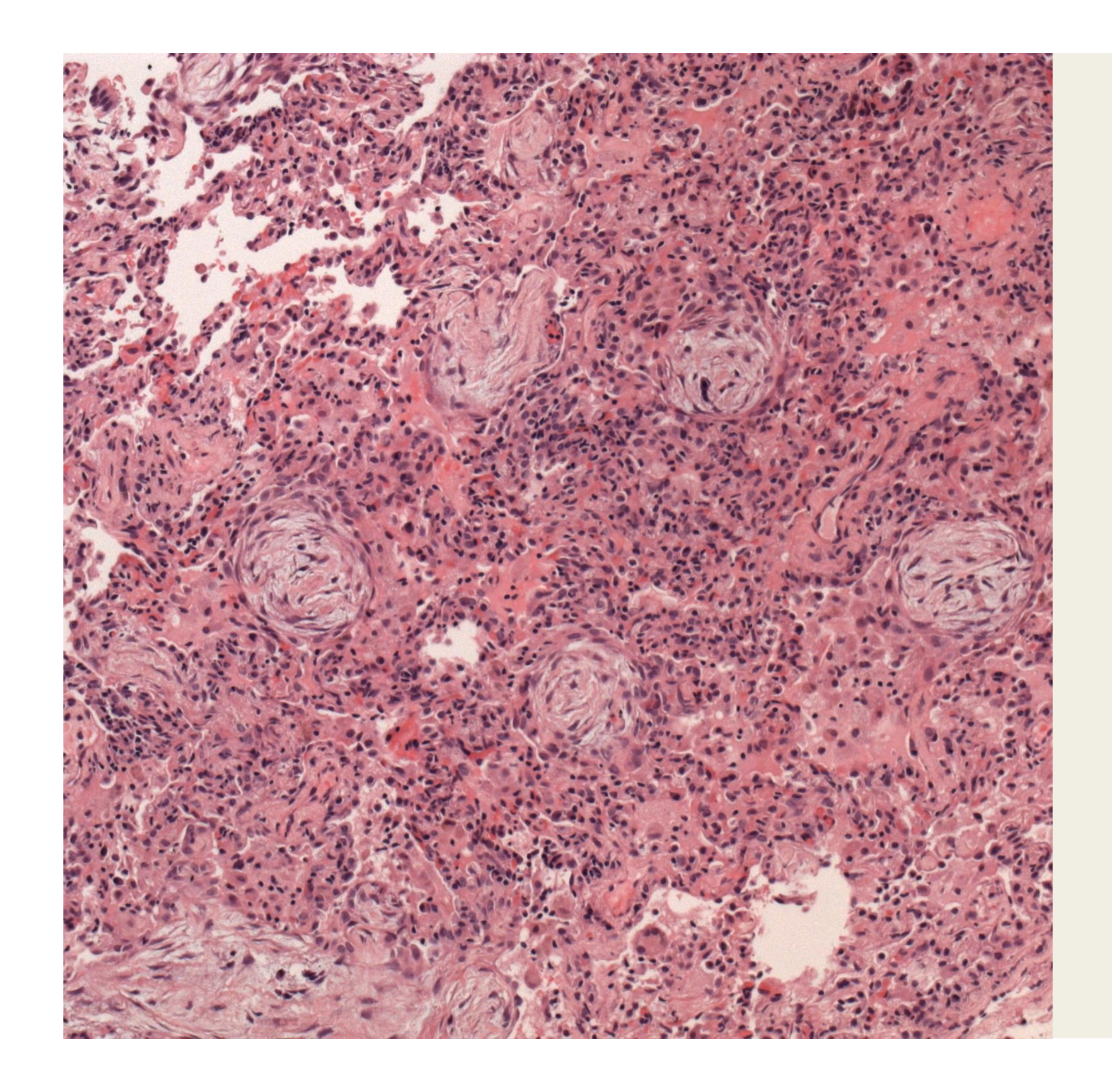
#### Idiopathisch – idiopathische Lungenfibrose (UIP)

- Progrediente Erkrankung mit 3 J. mittlerer ÜL-Zeit
- Ätiologie unklar rezidivierende Zyklen von
   Epithelschädigung und Fibroblasteninduktion –TGFß1
- Fleckförmige Entzündung, Faservermehrung,
   Metaplasie des Alveolarepithels und Honigwabenartiger Umbau des Parenchyms, "gehämmerte" Pleura
- Beginnend in Unterlappen, subpleural und paraseptal charakteristische Radiologie
- Komplikationen: Pneumonie, Respiratorische Insuffizienz, Pulmonaler Hochdruck, Rechtsherzversagen









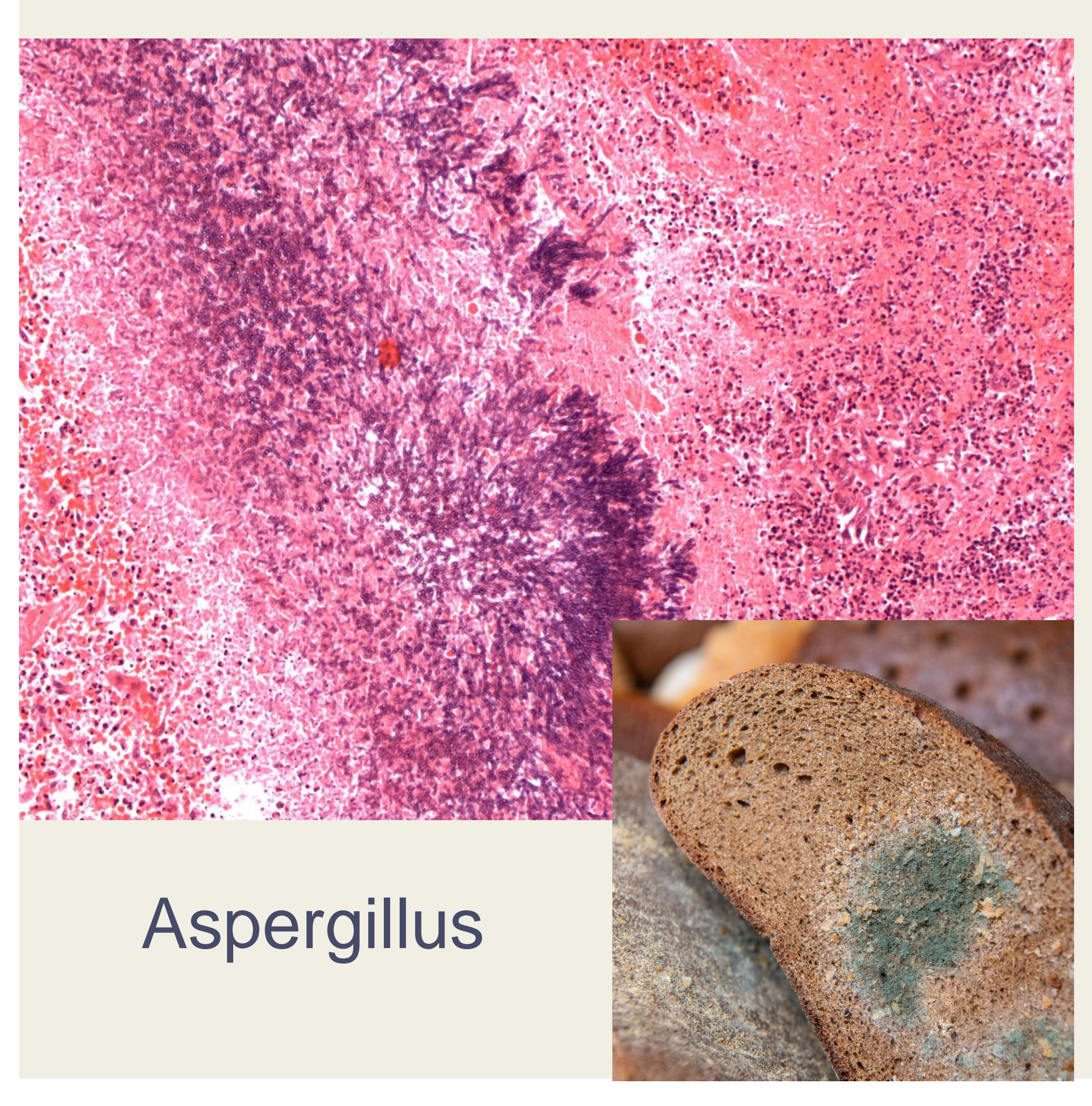
## Reaktionsmuster Bindegewebe

- > COP pattern
- COP(BOOP) Cryptogen organisierende Pneumonie (Bronchiolitis mit organisierender Pneumonie)
- Primär: vikariierende Infiltrate, "cryptogen"
- Sekundär nach Infekten
- Sekundär medikamentös NOS
- Sekundär medikamentös nach neoadjuvanter
   Therapie
- Sekundär medikamentös nach Chemotherapie
- GvhD
- Tumorartig
- Häufigste DD zu Rundherd-Tumor
- Reversibel
- Ansprechen auf Steroide





### Andere Rundherde







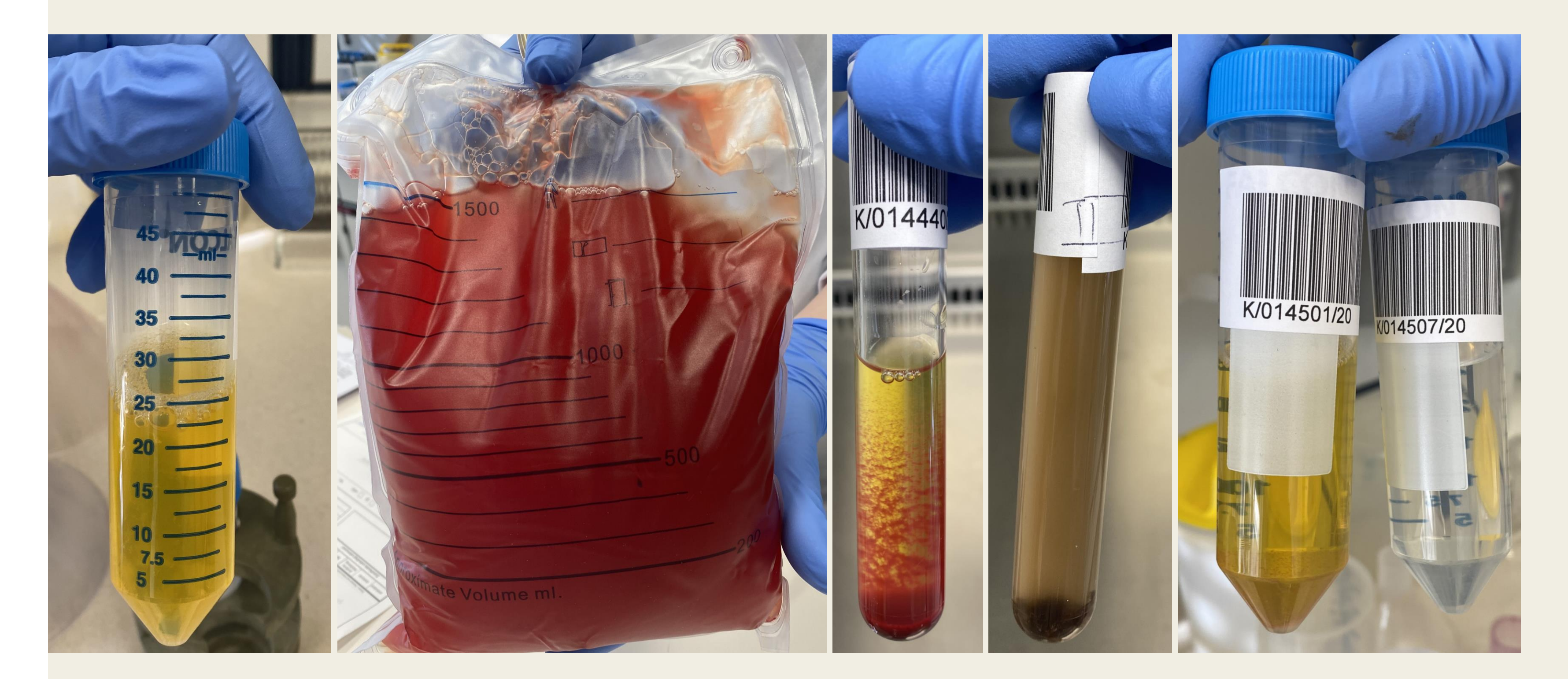
TBC







## Pleuraergüsse



Reaktiv entzündlich Reaktiv hydrostatisch Pleurakarzinose Mesotheliom

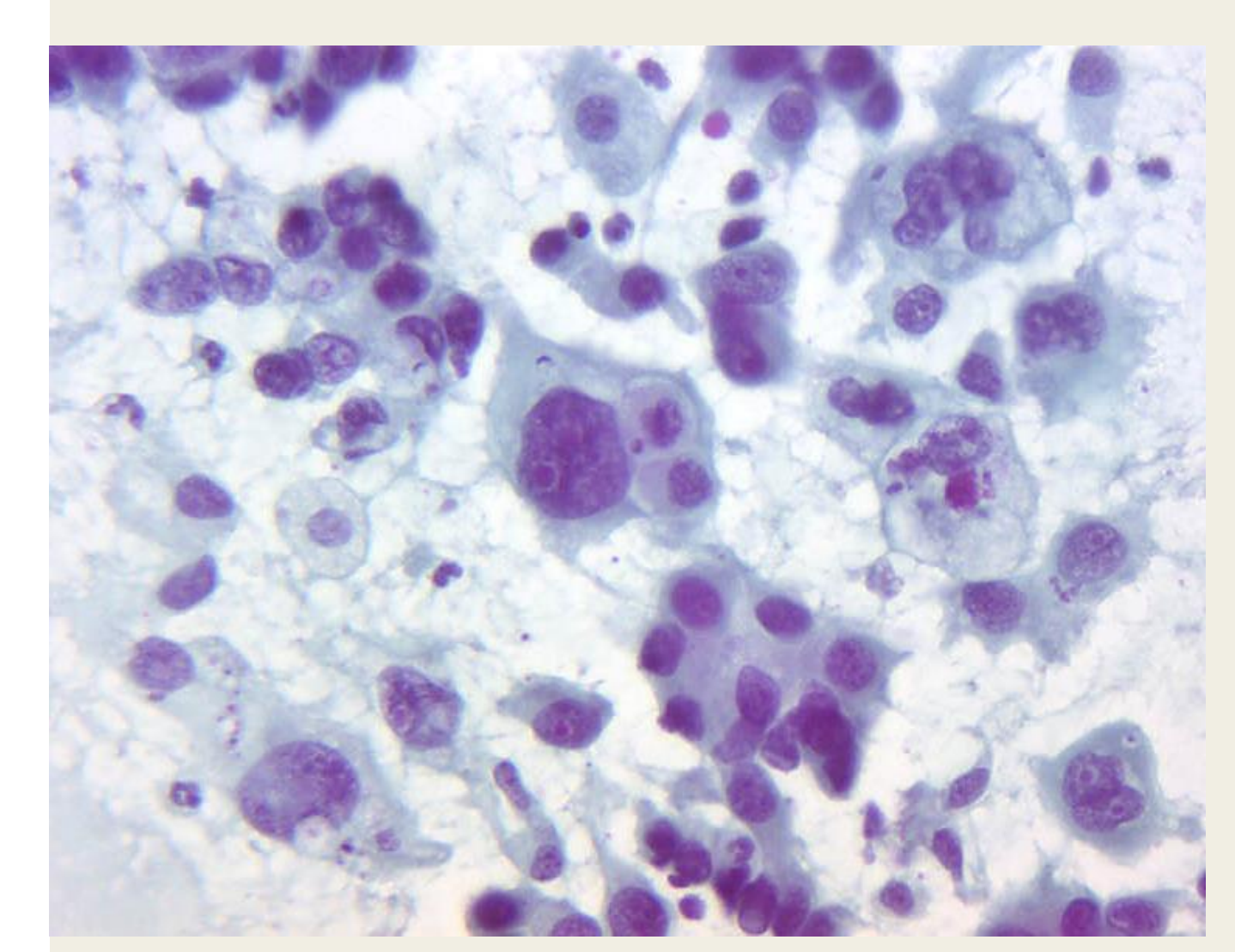
Beschriftung!
Zuordnung!
Zeitfaktor!
Unfixiert!

Dr. T Manuylova





## Carcinosis pleurae



LUNGE I			CK7										Ber-EP4
MA/GA/PA			CK7										Ber-EP4
MESOTHEL			CK7							WT1			Calretinin
SCHILDDRÜSE	TTF1		CK7										Ber-EP4
LUNGE II	TTF1	p40	CK7										Ber-EP4
CERVIX		p40	CK7				p16						Ber-EP4
HNO		p40	CK7				p16						Ber-EP4
Urothel		p40	CK7	CK20	GATA3								Ber-EP4
MAMMA			CK7		GATA3								Ber-EP4
OVAR			CK7			PAX8				WT1	ER	p53	Ber-EP4
ENDOMETRIUM			CK7			PAX8					ER		Ber-EP4
NIERE (klarz.)						PAX8							Ber-EP4
COLON				CK20				CDX2					Ber-EP4
PROSTATA									NKX3				Ber-EP4



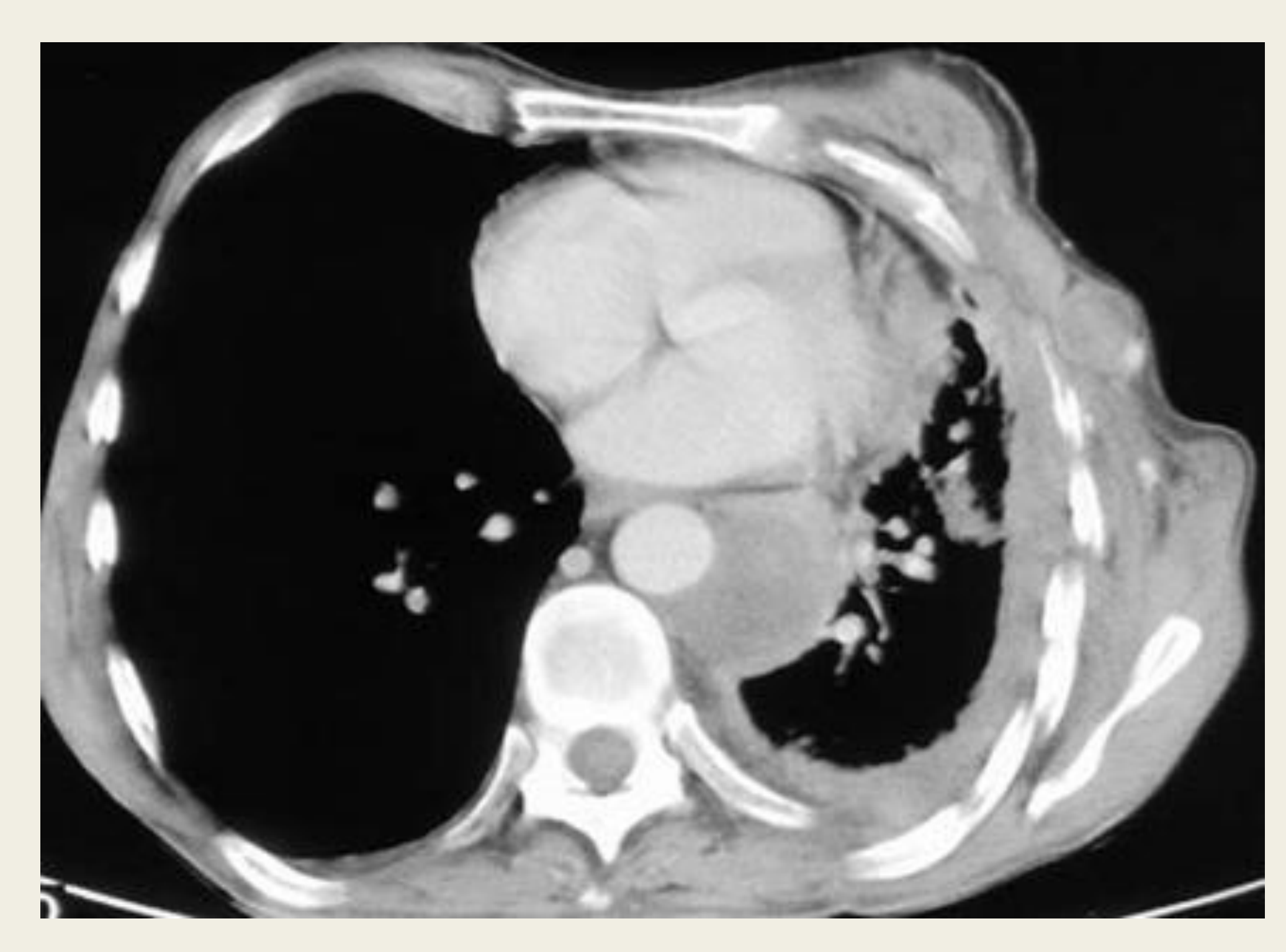


Zellverbände
BER-Ep4 und Calretinin kein Allheilmittel
Immunhistochemie nicht immer zuverlässig
Fortgeschrittene Tumorleiden mit Aberrationen
Klinische Hinweise
Staging Bildgebung
MolPath nur bei eindeutiger Diagnose
Niemals "Erst Mol und dann denken"...
"Kräht der Hahn am Mist...."





## Mesotheliom



Klinik Bildgebung Anamnese

